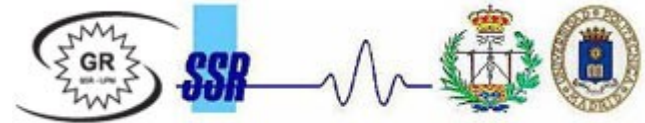


Antenas y Circuitos de Alta Frecuencia Segunda parte, Tema V

Master en Ingeniería Informática y de Telecomunicación,
2º cuatrimestre (6 créditos ECTS)

Profesores: Jorge A. Ruiz Cruz (jorge.ruizcruz@uam.es)
Jose Luis Masa Campos (joseluis.masa@uam.es)

Grupo colaborador: Grupo de Radiación. Dpto. SSR.UPM



Dpto. de Ingeniería Informática
Escuela Politécnica Superior
Universidad Autónoma de Madrid



Segunda parte de ACAF: Antenas



I. Principios básicos de una antena

II. Antenas lineales

III. Antenas impresas

IV. Antenas banda ancha, multibanda e independientes de la frecuencia

→ V. Agrupación de antenas. Arrays

VI. Antenas de apertura. Bocinas

VII. Reflectores

Antenas y Circuitos de Alta Frecuencia. www.eps.uam.es/~acaf
Master en Ingeniería Informática y Telecomunicaciones
Escuela Politécnica Superior. Universidad Autónoma de Madrid
José Luis Masa Campos. jose Luis.masa@uam.es

V. Agrupación de antenas. Arrays



1. Concepto y clasificación de arrays.
2. Principio de multiplicación de diagramas.
3. Arrays lineales multiespaciados.
 - a. Uniformes en amplitud
 - b. Broadside
 - c. Arrays de exploración
 - d. Array Endfire ordinario
 - e. Tipos de alimentación
 - f. Directividad
4. Síntesis de Schelkunoff
5. Arrays reticulares planos. *Distribuciones separables*
6. Redes de alimentación
 - a. Tipo serie
 - b. Tipo paralelo
 - c. Redes activas
 - d. Estructuras básicas microtira
7. Antenas adaptativas
 - a. Concepto y modelo de señal
 - b. Conformación de haz con referencia temporal
 - c. Conformación de haz con referencia espacial (GLSC)

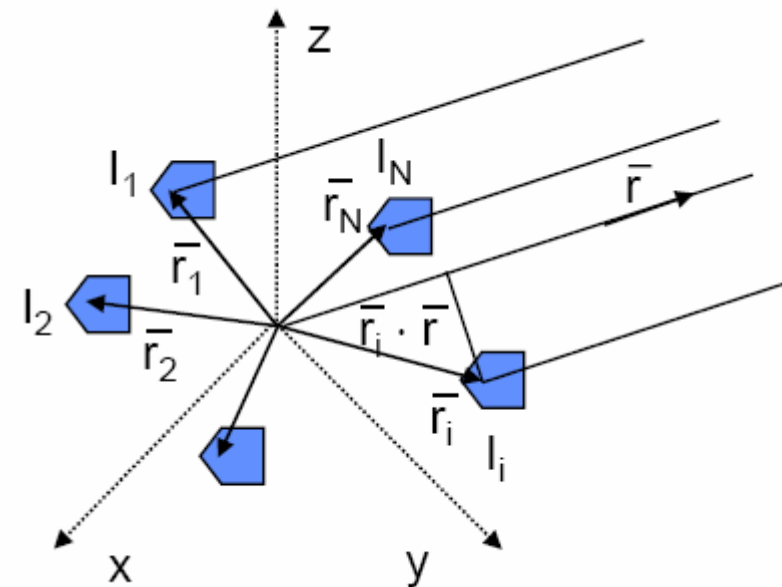
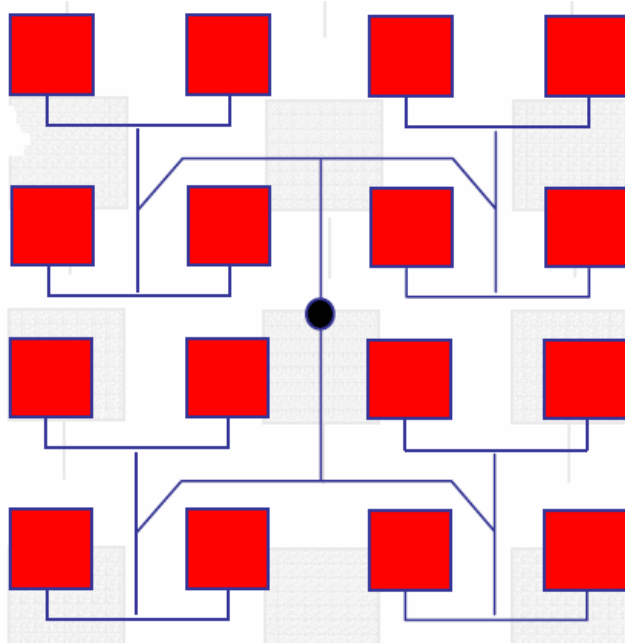
1.- Concepto de array

- Conjunto de antenas alimentadas desde un terminal común mediante redes lineales

- Premisas

- Todos los elementos son iguales
- Todos los elementos poseen la misma orientación

} → Todos los
elementos RADIAN
IGUAL



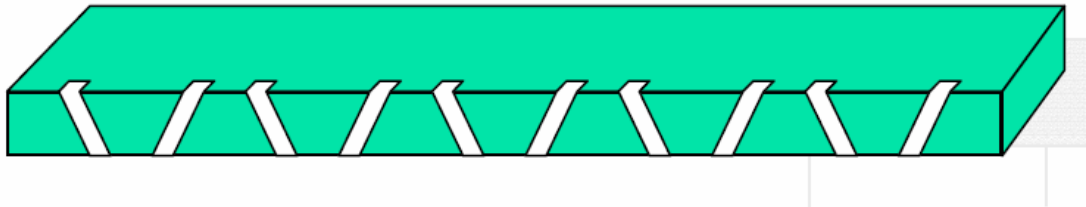
1.- Clasificación de arrays



- **Según su estructura geométrica**
 - Agrupaciones lineales
 - Agrupaciones planas
 - Rectangulares
 - Circulares
 - Agrupaciones conformadas
 - Agrupaciones 3D
- **Según la red de alimentación**
 - Agrupaciones pasivas
 - Con un solo haz
 - Multihaz
 - Agrupaciones activas
 - Agrupaciones adaptativas

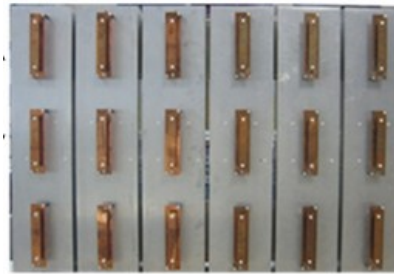
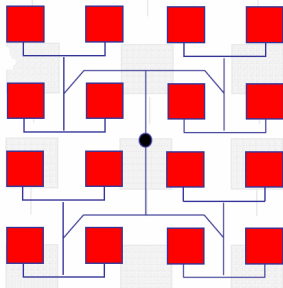
1.- Clasificación de arrays. *Lineales*

- **Los elementos se disponen a lo largo de una línea recta**
 - Equiespaciados (Variables N (n° elementos), separación fija (d))
 - No equiespaciados (Variables N , posición aleatoria (x_i, y_i))

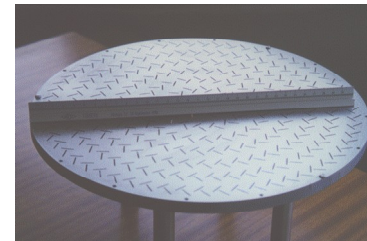
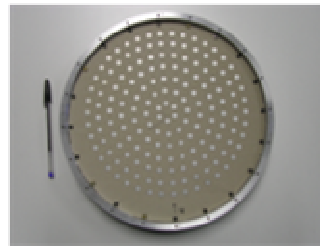


1.- Clasificación de arrays. *Planos*

- Los elementos se disponen en un plano
 - Reticulares (Elementos dispuestos en los nudos de una retícula)
 - Rectangulares
 - Triangulares



- Circulares (Elementos dispuestos sobre circunferencias concéntricas)



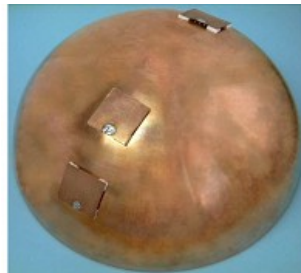
- Aleatorias (Elementos dispuestos en puntos aleatorios del plano)

1.- Clasificación de arrays. *Conformados*

- Los elementos se disponen sobre formas específicas
 - Cilíndricos



- Cónicos, Piramidales
- Esféricos



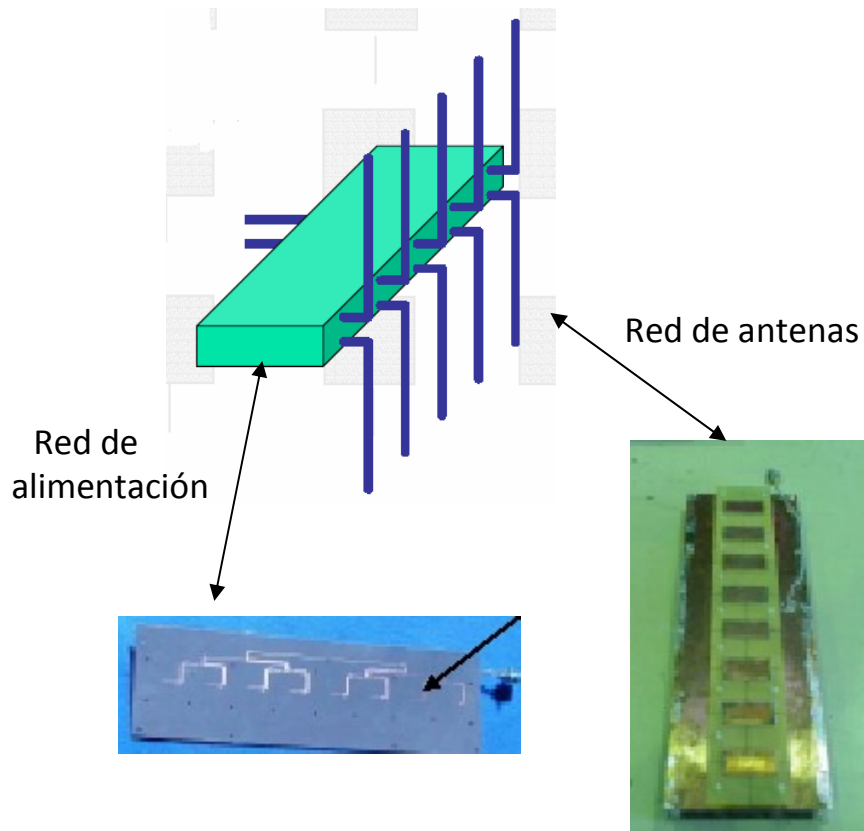
- Superficies diversas (Alas de avión, vehículos)

1.- Clasificación de arrays. *Pasivos*

- Utilizan una red de distribución de potencia con elementos pasivos (divisores, líneas de transmisión, adaptadores, híbridos, etc...)

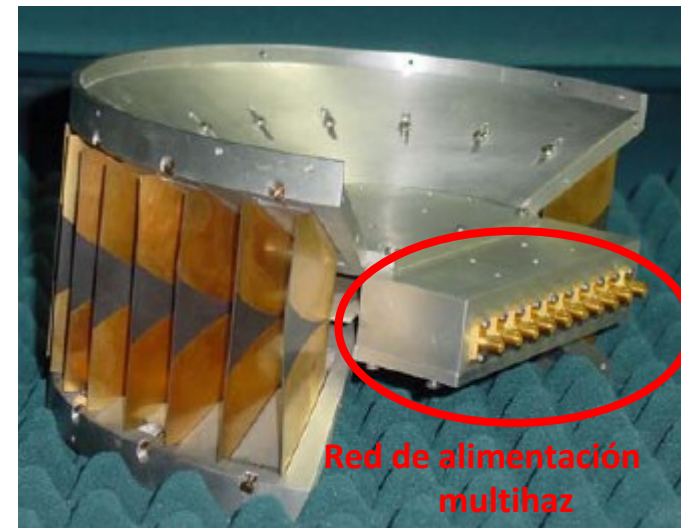
Con un haz

- Diagrama y polarización única



Multihaz

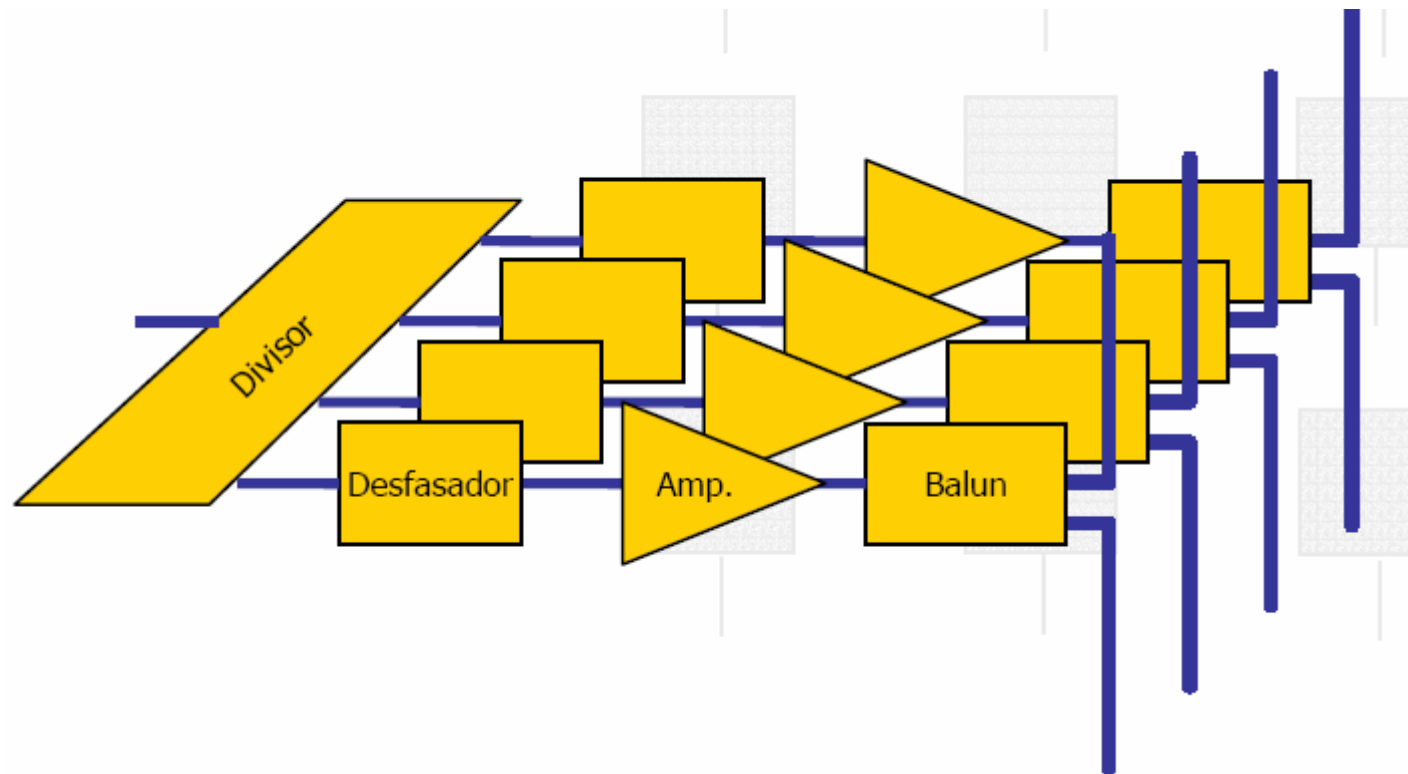
- Red de alimentación con varios puertos de entrada para cada haz
- A veces se diseñan para tener varios tipos de polarización, con puertos de entrada diferenciados (Telefonía Movil)



1.- Clasificación de arrays. *Activos*

- Utilizan una red activa (amplificadores) fijas o variables, que permiten el control de las excitaciones de los elementos del array
- El paso siguiente es el control de las excitaciones en función de las características de la señal recibida o transmitidas, así como del entorno radioeléctrico →

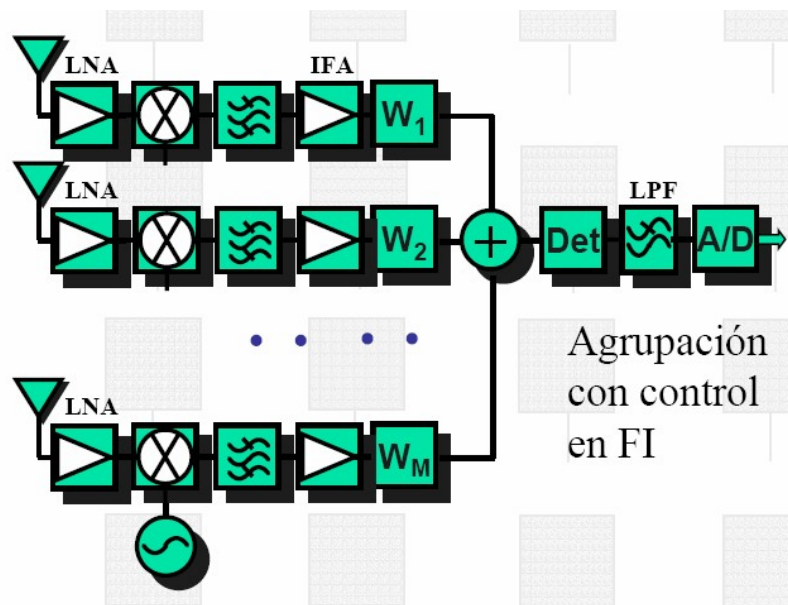
Antenas adaptativas



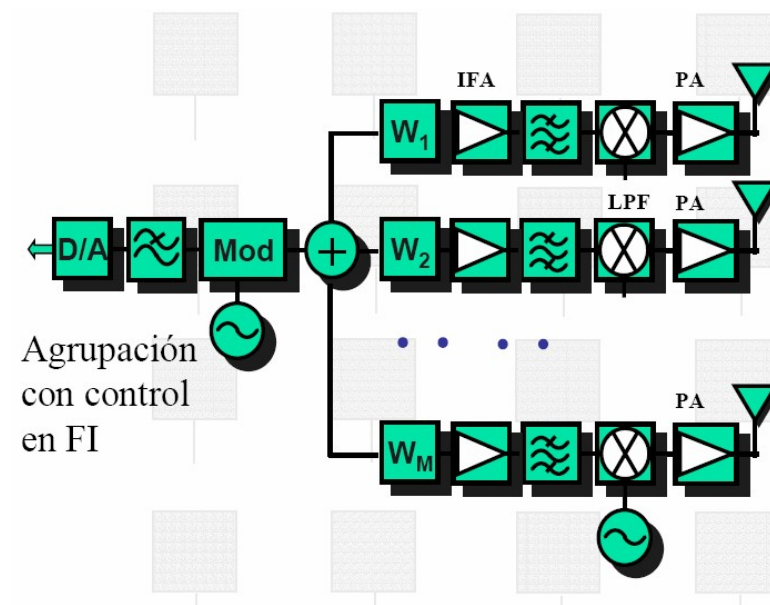
1.- Clasificación de arrays. *Activos*

- Permiten un mayor control del diagrama tanto en recepción como en transmisión

Recepción

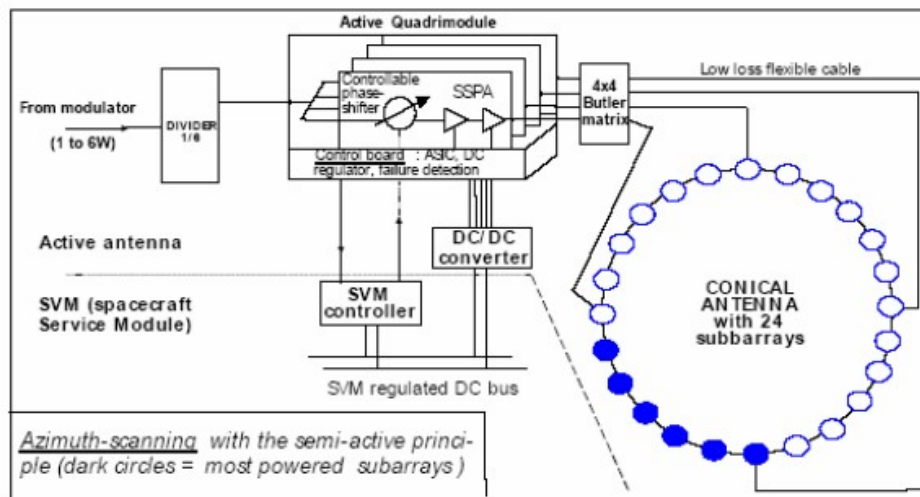


Transmisión



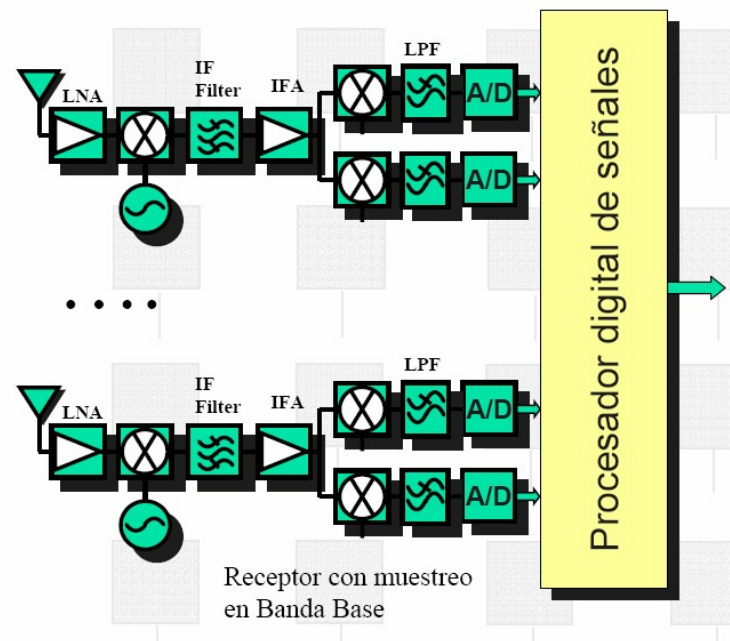
1.- Clasificación de arrays. *Activos*

- Antena de satélite para comunicaciones
- Permite la selección de determinados elementos de la agrupación para optimizar la dirección de transmisión



1.- Clasificación de arrays. *Adaptativos*

- La introducción de un procesado digital permite:
 - Controlar digitalmente los diagramas mediante el establecimiento de los pesos w_i de cada elemento
 - Adaptación del diagrama al entorno radioeléctrico basado en el conocimiento de:
 - Dirección de llegada de la señal deseada
 - Alguna propiedad de la señal deseada
- Es posible cambiar la dirección de apuntamiento de la antena para el seguimiento de la señal deseada
- Permite cambiar la forma del diagrama para favorecer una señal deseada frente a otras interferentes



2.- Principio de multiplicación de diagramas

- El array se define por:
 - Vectores de posición \vec{r}_i
 - Corrientes de alimentación I_i
 - El diagrama del elemento unitario en el centro de coordenadas $\vec{E}_e(\theta, \phi)$

- Campo radiado por un elemento "i":**

$$\vec{E}_i(\theta, \phi) = \vec{E}_e(\theta, \phi) \cdot \frac{I_i}{I_0} e^{jk_0 \hat{r} \vec{r}_i}$$

Campo radiado por un elemento en el origen alimentado con I_0

Coefficiente de alimentación complejo A_i

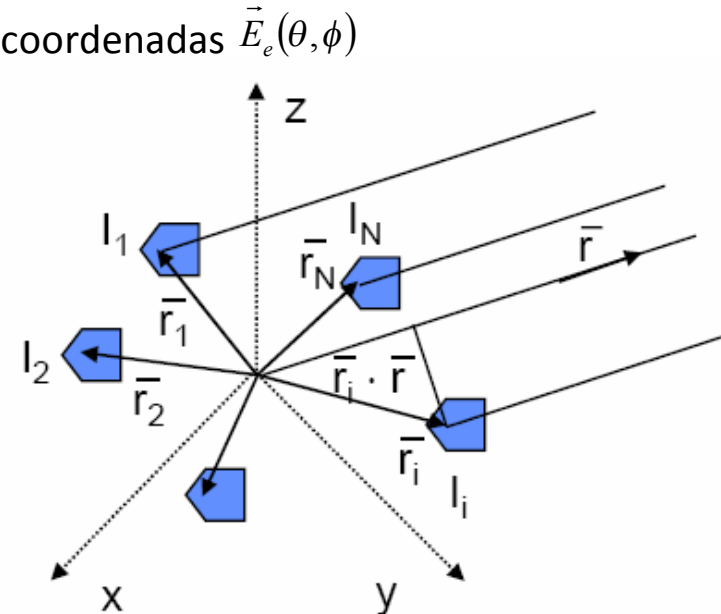
Fase relativa por desplazamiento sobre el origen

- Campo radiado por el Array:**

$$\vec{E}_A(\theta, \phi) = \sum_i \vec{E}_i(\theta, \phi) = \vec{E}_e(\theta, \phi) \cdot \sum_{i=1}^N A_i \cdot e^{jk_0 \hat{r} \vec{r}_i}$$

$$F_A(\theta, \phi) = \sum_{i=1}^N A_i \cdot e^{jk_0 \hat{r} \vec{r}_i} = \text{Factor de Array}$$

$$|\vec{E}_A(\theta, \phi)| = |\vec{E}_e(\theta, \phi)| \cdot |F_A(\theta, \phi)|$$



$$\hat{r} = (\text{sen } \theta \cdot \cos \phi \cdot \hat{x} + \text{sen } \theta \cdot \text{sen } \phi \cdot \hat{y} + \cos \theta \cdot \hat{z})$$

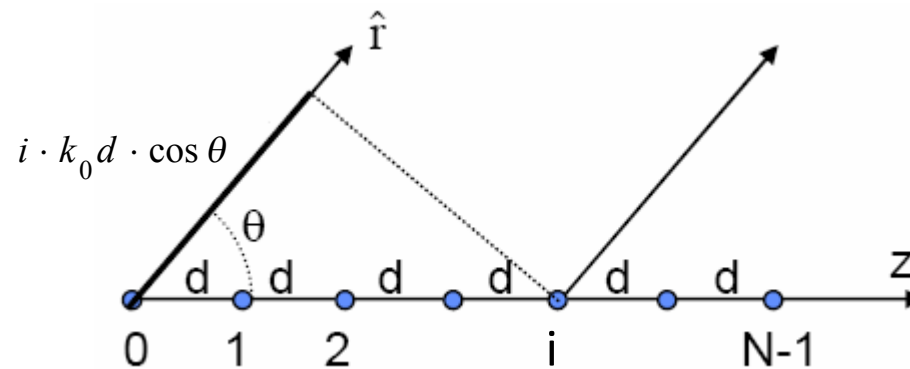
$$\vec{r}_i = x_i \cdot \hat{x} + y_i \cdot \hat{y} + z_i \cdot \hat{z}$$

- La polarización del campo total radiado depende **"solo"** del elemento unitario
- En arrays grandes el factor de array, varía mucho más rápido angularmente que el diagrama del elemento. Por ello, se puede aproximar el diagrama del array por $F_A(\theta, \phi)$

3.- Arrays lineales equiespaciados

- Array de N elementos separados una distancia fija entre sí de valor “d”
- El vector de posición de cada elemento corresponde a:

$$\left. \begin{aligned} \vec{r}_i &= i \cdot d \cdot \hat{z} \longrightarrow \hat{r} \cdot \vec{r}_i = i \cdot d \cdot \cos \theta \\ A_i &= a_i \cdot e^{j\alpha_i} \end{aligned} \right\} F_A(\theta, \phi) = \sum_{i=0}^{N-1} A_i \cdot e^{jk_0 \hat{r} \cdot \vec{r}_i} = \sum_{i=0}^{N-1} a_i \cdot e^{j(i \cdot k_0 \cdot d \cdot \cos \theta + \alpha_i)}$$



- Leyes de excitación más utilizadas:
 - Fase progresiva, $A_i = a_i \cdot e^{j(i \cdot \alpha)}$
 - Uniforme en Amplitud y en fase, $A_i = 1 \forall i$
 - Uniforme en Amplitud y Fase progresiva, $A_i = e^{j(i \cdot \alpha)}$
 - Amplitud simétrica y decreciente del centro al borde

3.- Arrays lineales equiespaciados. *Uniformes en amplitud*

$$A_i = e^{j(i \cdot \alpha)}$$

$$\psi = k_0 \cdot d \cdot \cos \theta + \alpha$$

$$F_A(\theta, \phi) = \sum_{i=0}^{N-1} e^{j \cdot i \cdot (k_0 \cdot d \cdot \cos \theta + \alpha)} = \sum_{i=0}^{N-1} e^{j \cdot i \cdot \psi} = e^{j \frac{N-1}{2} \psi} \frac{\text{sen} \left(\frac{N}{2} \psi \right)}{\text{sen} \left(\frac{\psi}{2} \right)}$$

$$|F_A(\psi)| = \left| \frac{\text{sen} \left(\frac{N}{2} \psi \right)}{\text{sen} \left(\frac{\psi}{2} \right)} \right|$$

- Función simétrica y periódica de periodo 2π en Ψ
- Máximos principales

$$\psi = 0 \rightarrow F_A = N \longrightarrow \theta_0 = \cos^{-1}(-\alpha/k_0 \cdot d)$$

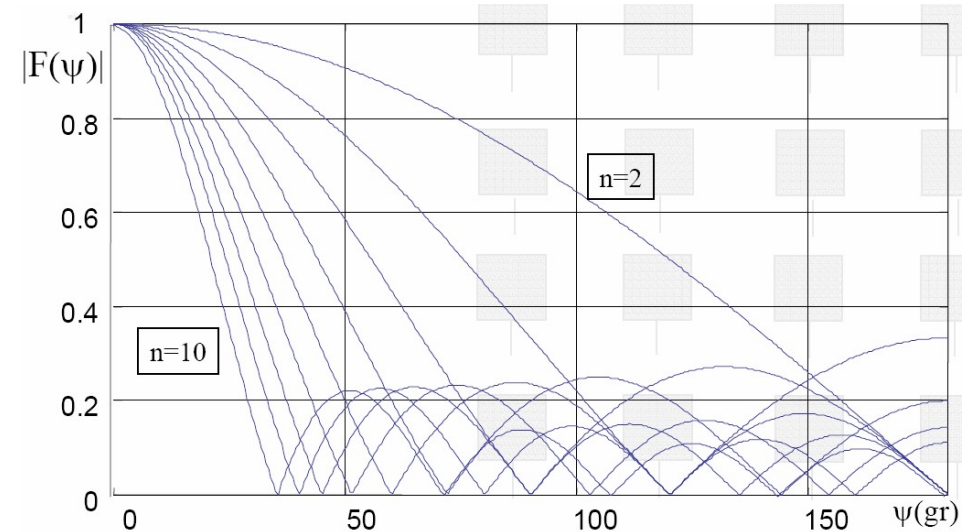
$$\psi = \pm 2k\pi \rightarrow F_A = N$$

- Máximos secundarios

$$\psi = \frac{\pm(2k+1)\pi}{N}, \quad k \neq 0, \pm N, \dots$$

- Nulos

$$\psi = \frac{\pm 2k\pi}{N}, \text{ excepto } \psi = \pm 2k\pi$$



- Nivel del primer lóbulo secundario

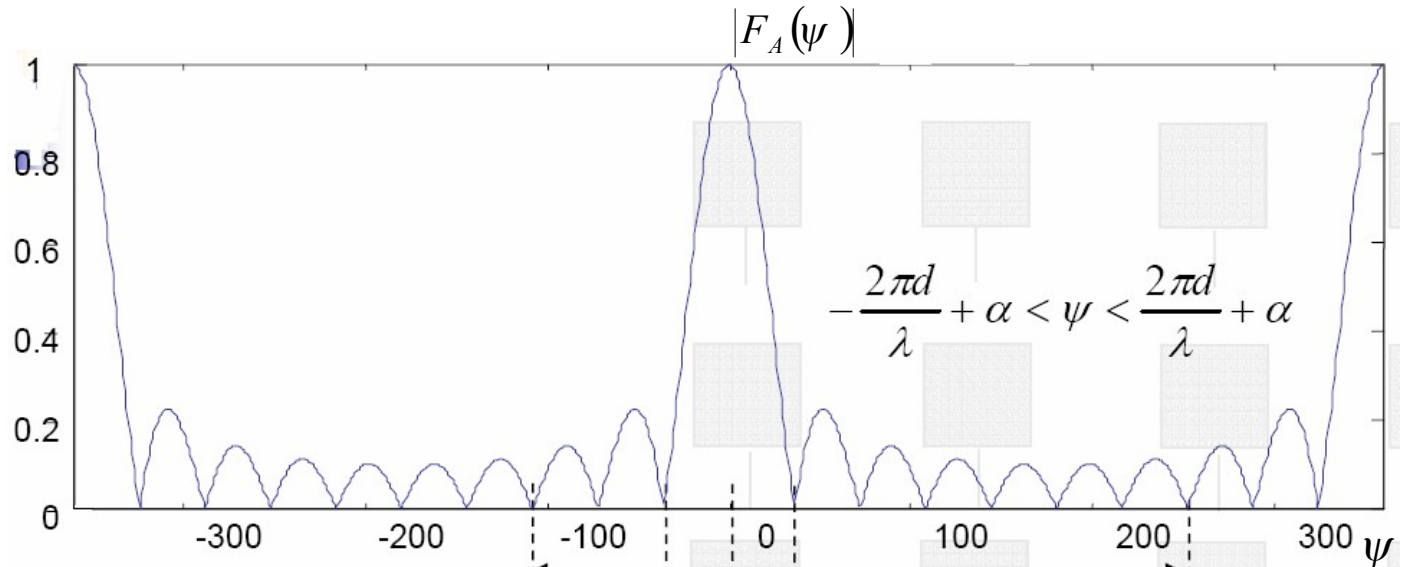
$$\left| F_{AN} \left(\psi = \frac{3\pi}{N} \right) \right| = \frac{1/N}{\text{sen} \left(\frac{3\pi}{2N} \right)} \xrightarrow{N \text{ grande}} \frac{2}{3\pi} \Rightarrow -13.46 \text{dB}$$

3.- Arrays lineales equiespaciados. *Margen visible*

- Supuesto un array con fase progresiva:

$$A_i = a_i \cdot e^{j(i \cdot \alpha)} \longrightarrow F_A(\theta, \phi) = \sum_{i=0}^{N-1} a_i \cdot e^{j \cdot i \cdot (k_0 \cdot d \cdot \cos \theta + \alpha)} = \sum_{i=0}^{N-1} a_i \cdot e^{j \cdot i \cdot \psi} \quad \boxed{\psi = k_0 \cdot d \cdot \cos \theta + \alpha}$$

$$F_A(\psi) = \sum_{i=0}^{N-1} a_i \cdot e^{j \cdot i \cdot \psi} \quad \rightarrow$$

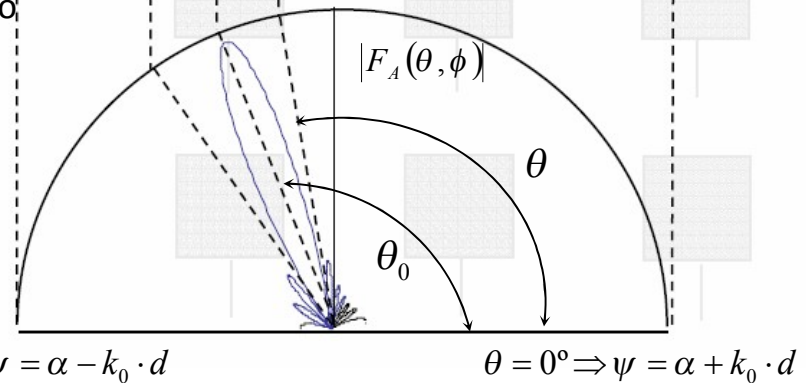


$$F_A(\theta, \phi) = \sum_{i=0}^{N-1} a_i \cdot e^{j \cdot i \cdot (k_0 \cdot d \cdot \cos \theta + \alpha)} \quad \rightarrow$$

- Angulo de apuntamiento

$$\psi = 0 \rightarrow |F_A| = \text{Maximo}$$

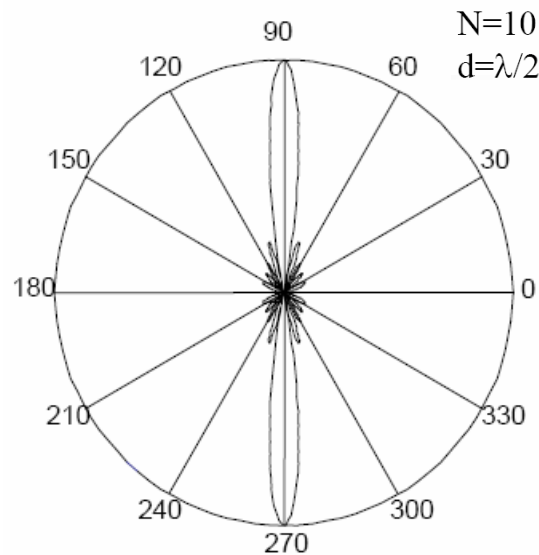
$$\boxed{\theta_0 = \cos^{-1}(-\alpha / k_0 \cdot d)}$$



- Si $d > \lambda/2$ y/o el desfase α es muy alto, pueden aparecer en el margen visible réplicas del lóbulo principal \rightarrow Grating Lobes

3.- Arrays lineales equiespaciados. *Arrays Broadside*

- Se obtiene radiación transversal (“broadside”) al eje del array. Si dicho array se orienta en el eje z, la radiación principal se obtendrá en $\theta=90^\circ$



- Fase uniforme:

$$\alpha = 0 \Rightarrow \psi = k_0 \cdot d \cdot \cos\theta$$

- Margen visible:

$$-k_0 \cdot d < \psi < k_0 \cdot d$$

- Máximo principal:

$$\psi = 0 \rightarrow \theta_0 = \frac{\pi}{2}$$

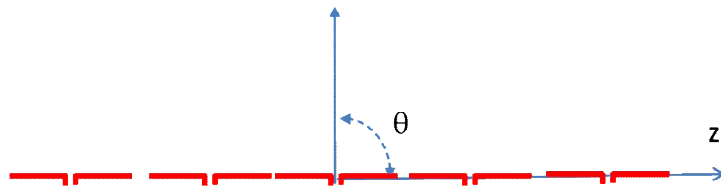
- Anchura entre nulos del lóbulo principal:

$$\psi = \frac{\pm 2\pi}{N} \Rightarrow \theta_{1N} = \cos^{-1}\left(\frac{2\pi}{Nk_0d}\right) \Rightarrow \Delta\theta = 2\left(\frac{\pi}{2} - \theta_{1N}\right) = 2\text{sen}^{-1}\left(\frac{\lambda}{Nd}\right)$$

$$\text{Si } Nd \gg \lambda \Rightarrow \Delta\theta = 2 \frac{\lambda}{Nd} \text{ (rad)}$$

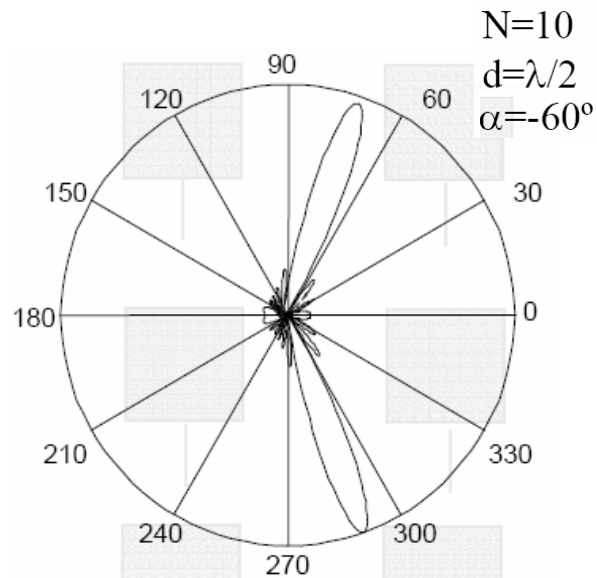
- Anchura del haz principal a 3 dB:

$$\text{Si } Nd \gg \lambda \Rightarrow \Delta\theta_{-3dB} = 0.886 \frac{\lambda}{Nd} \text{ (rad)}$$



3.- Arrays lineales equiespaciados. *Arrays de Exploración*

- Variando la fase de exploración α , se consigue que el lóbulo principal explore el espacio



- Fase progresiva:

$$\psi = k_0 \cdot d \cdot \cos\theta + \alpha$$

- Margen visible:

$$\alpha - k_0 \cdot d < \psi < k_0 \cdot d + \alpha$$

- Máximo principal:

$$\psi = 0 \rightarrow \theta_0 = \cos^{-1}(-\alpha/k_0 \cdot d)$$

- Anchura entre nulos del lóbulo principal:

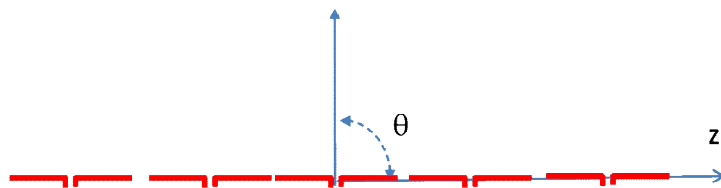
$$\psi = \frac{\pm 2\pi}{N} \Rightarrow \Delta\theta = \cos^{-1}\left(\cos\theta_0 - \frac{\lambda}{Nd}\right) - \cos^{-1}\left(\cos\theta_0 + \frac{\lambda}{Nd}\right)$$

Si $Nd \gg \lambda$ y θ_0 próximo a $\pi/2 \Rightarrow \Delta\theta \approx 2 \frac{\lambda}{Nd \sin\theta_0} \text{ (rad)}$

- Anchura del haz principal a 3 dB:

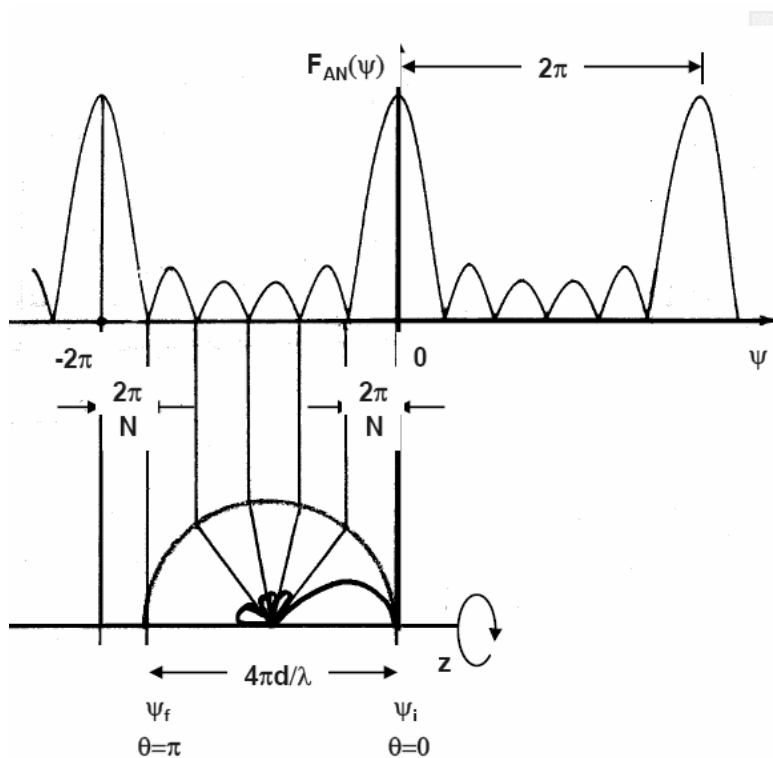
Si $Nd \gg \lambda \Rightarrow \Delta\theta_{-3dB} = 0.886 \frac{\lambda}{Nd \sin\theta_0} \text{ (rad)}$

- El nivel de lóbulos secundarios es similar al caso broadside



3.- Arrays lineales equiespaciados. *Array Endfire Ordinario*

- Se caracterizan por tener su lóbulo principal apuntando hacia el eje del propio array



¡Espaciado para Maxima Ganancia!

- Máximo principal:

$$\theta = 0 \text{ (o } \theta = \pi)$$

- Fase progresiva:

$$\psi = 0, \text{ en } \theta = 0 \Rightarrow \alpha = -k_0 d = -\frac{2\pi d}{\lambda}$$

- Margen visible:

$$-2k_0 d < \psi < 0$$

- Anchura entre nulos del lóbulo principal:

$$\psi = -\frac{2\pi}{N} \Rightarrow \theta_{1N} = \cos^{-1}\left(1 - \frac{\lambda}{Nd}\right)$$

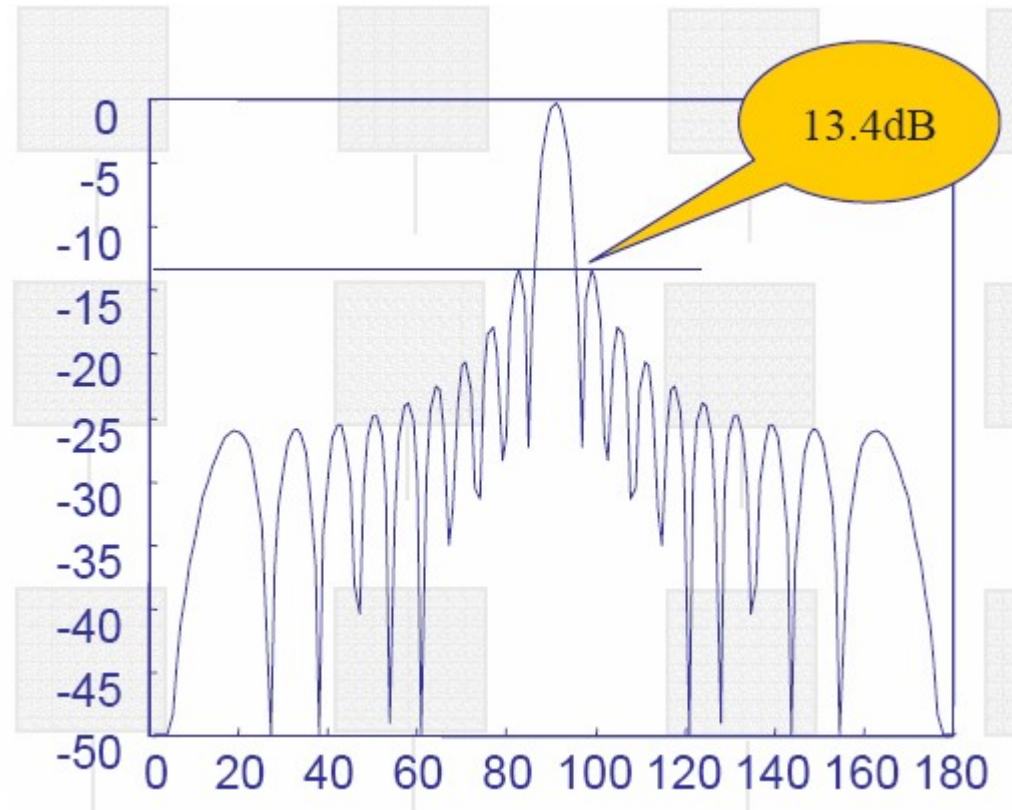
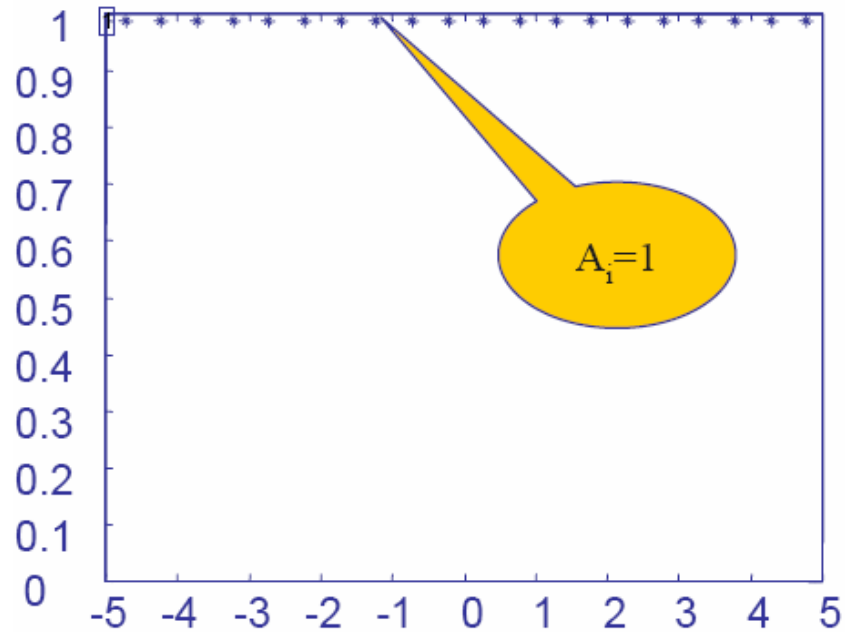
Si $Nd \gg \lambda \Rightarrow \cos \theta_{1N} \approx 1 - \frac{\theta_{1N}^2}{2} = \left(1 - \frac{\lambda}{Nd}\right) \Rightarrow \Delta\theta \approx 2\sqrt{\frac{2\lambda}{Nd}} \text{ (rad)}$

- Anchura del haz principal a 3 dB:

Si $Nd \gg \lambda \Rightarrow \Delta\theta_{-3dB} = 2\sqrt{0.886 \frac{\lambda}{Nd}} \text{ (rad)}$

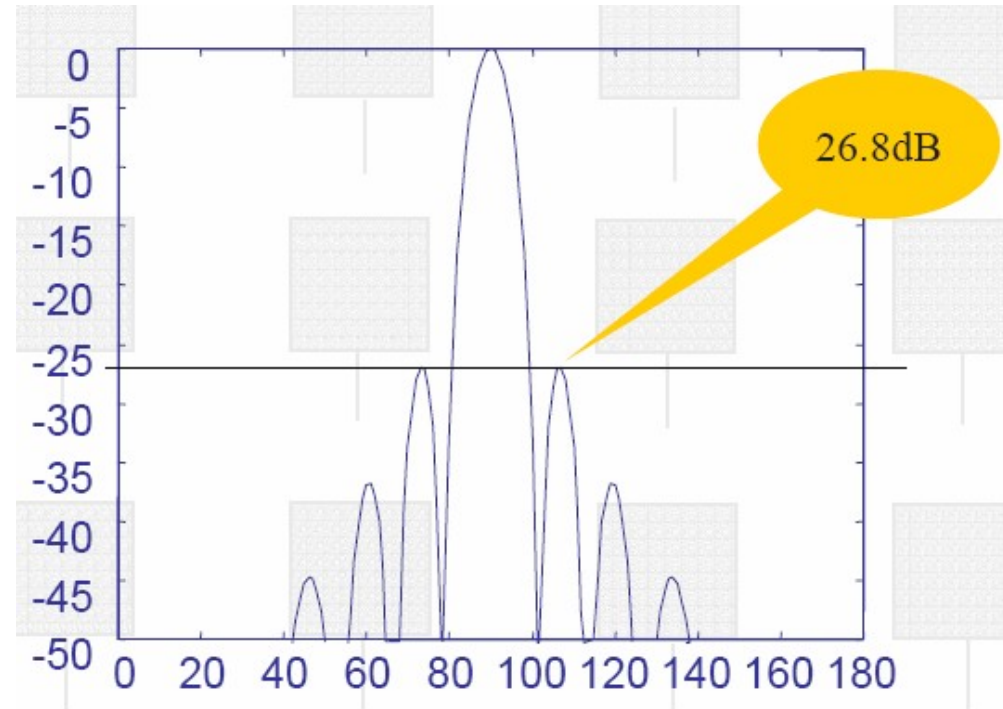
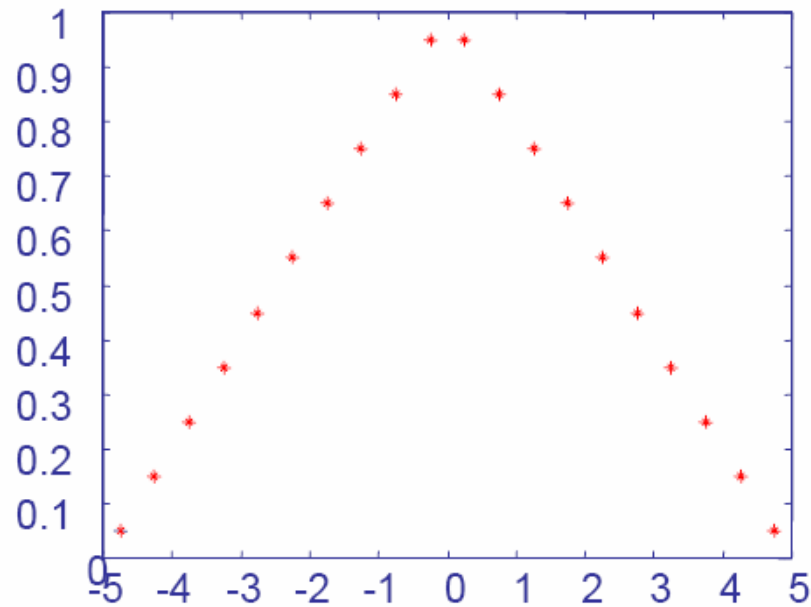
3.- Arrays lineales equiespaciados. *Ejemplos de alimentación - Arrays Broadside uniforme en amplitud*

- Cuando $A_i=1$ para $i=0$ a $n-1$
- $N=20$



3.- Arrays lineales equiespaciados. *Ejemplos de alimentación - Array Broadside alimentación triangular*

- Cuando $A_i = 1 - \text{abs}(-(n-1)/2 + i)/(n/2)$;
 - para $i=0$ a $n-1$
- $N=20$



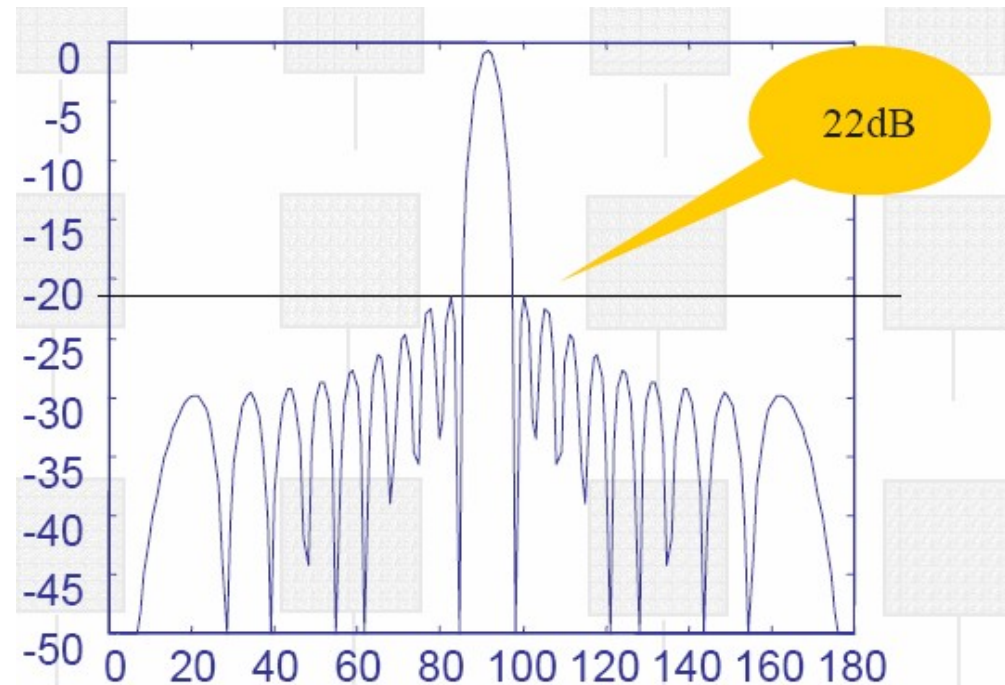
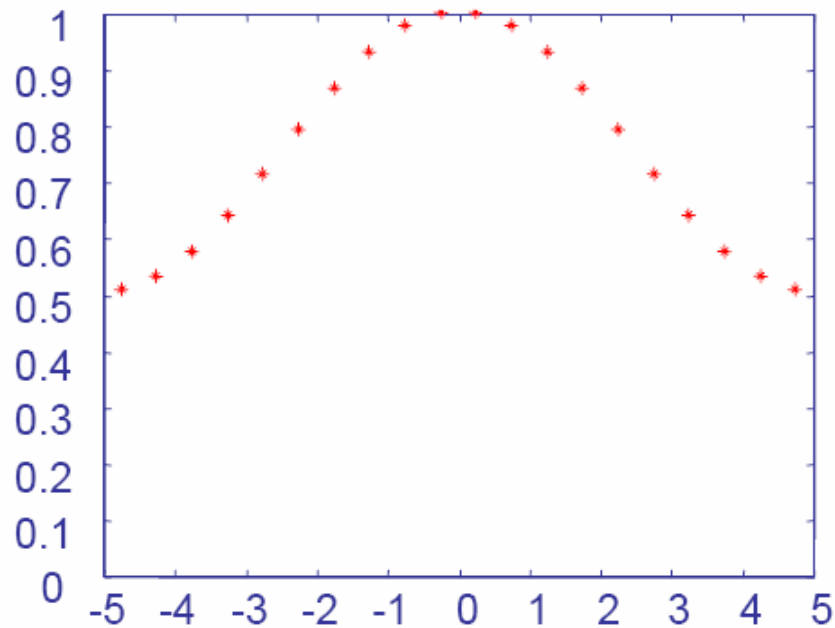
3.- Arrays lineales equiespaciados. *Ejemplos de alimentación - Array Broadside alimentación coseno en pedestal*

■ Cuando

$$A_i = 1 + H \left[\cos\left(\frac{\pi i}{N-1}\right) \right]^2, \text{ tal que, } -\frac{N-1}{2} < i < \frac{N-1}{2}$$

■ para $i=0$ a $n-1$

■ $N=20$, $H=0.5$



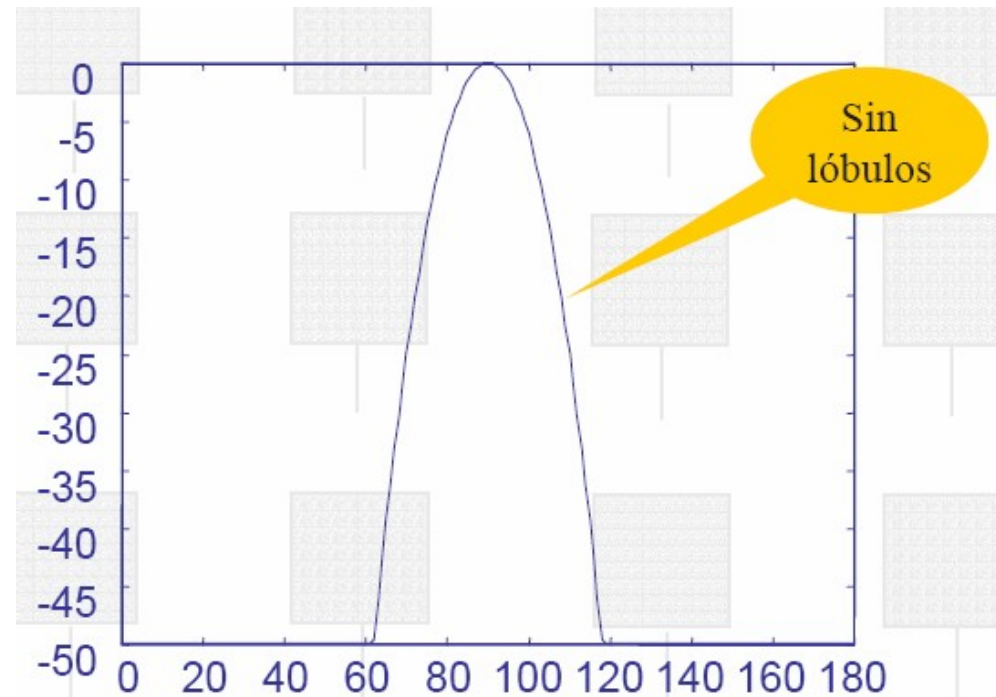
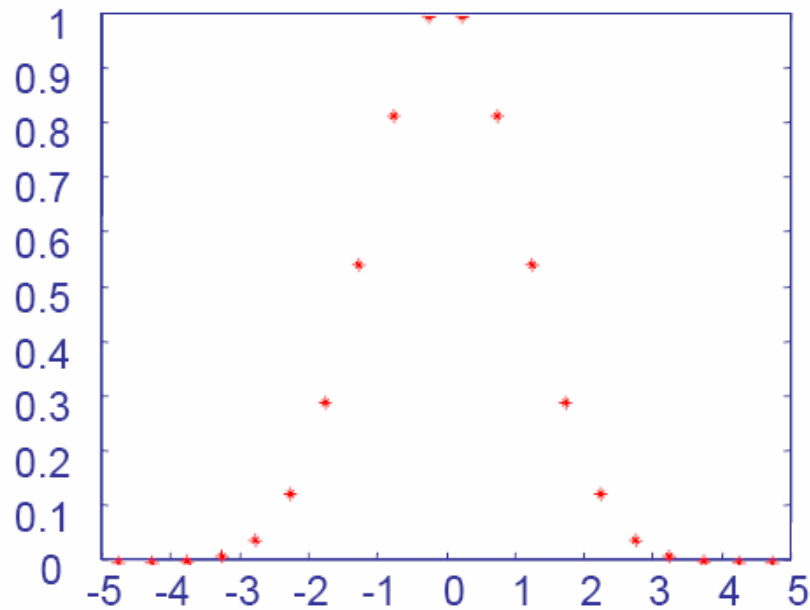
3.- Arrays lineales equiespaciados. *Ejemplos de alimentación - Array Broadside alimentación binomial*

■ Cuando

$$A_i = \binom{N-1}{i} = \frac{N!}{(N-i)! \cdot i!}$$

■ para $i=0$ a $n-1$

■ $N=20$



3.- Arrays lineales equiespaciados. *Directividad*



- La directividad de un array con elementos **isotrópicos**, con **coeficientes reales y positivos**, y con su máximo principal ($\Psi=0$) **dentro del margen visible**, es:

$$D_0 = 4\pi \frac{U^{\max}(\theta, \phi)}{P_{rad}} = 4\pi \frac{|F_A^{\max}|^2}{\int_0^{2\pi} \int_0^\pi |F_A(\theta)|^2 \sin\theta d\theta d\phi} = \frac{2|F_A^{\max}|^2}{\int_0^\pi |F_A(\theta)|^2 \sin\theta d\theta}$$

- Haciendo el cambio de variable θ por Ψ :

$$\psi = k_0 \cdot d \cdot \cos\theta + \alpha \longrightarrow d\psi = -k_0 \cdot d \cdot \sin\theta d\theta \longrightarrow$$

$$D_0 = \frac{2k_0 d |F_A^{\max}|^2}{\int_{\alpha-k_0 d}^{\alpha+k_0 d} |F_A(\psi)|^2 d\psi}$$

- Para un array con alimentación de **fase progresiva**:

$$|F_A(\psi)|^2 = F_A(\psi) \cdot F_A^*(\psi) = \sum_{i=0}^{N-1} a_i \cdot e^{j \cdot i \cdot \psi} \cdot \sum_{k=0}^{N-1} a_k \cdot e^{-j \cdot k \cdot \psi} \quad , \quad y, \quad F_A^{\max}(\psi) = F_A(\psi = 0) = \sum_{i=0}^{N-1} a_i$$

$$D_0 = \frac{\left(\sum_{i=0}^{N-1} a_i \right)^2}{\sum_{i=0}^{N-1} a_i^2 + \sum_{i=0}^{N-2} \sum_{k=i+1}^{N-1} 2a_i a_k \cdot \frac{\text{sen}k_0 d(i-k)}{k_0 d(i-k)} \cos(i-k)\alpha}$$

- No se cumple que la directividad de un array con elementos no isotrópicos sea el producto de la directividad del elemento por la del factor de array**

3.- Arrays lineales equiespaciados. *Directividad*

- Si el espacio es $d=\lambda/2$:

$$D_0 = \frac{\left(\sum_{i=0}^{N-1} a_i\right)^2}{\sum_{i=0}^{N-1} a_i^2}$$

→ ¡ No depende de α !

- Alimentación uniforme en amplitud ($a_i=1 \forall i$):

$$D_0 = \frac{N^2}{N + \sum_{i=0}^{N-1} 2(N-i) \cdot \frac{\text{sen}(ik_0d)}{ik_0d} \cos(i\alpha)}$$

- Casos de interés:

- Separación múltiplo de $d=\lambda/2$: $d = k \frac{\lambda}{2} \longrightarrow D_0 = N$
- Array broadside ($\alpha=0$): $d \approx \frac{\lambda}{2}, d < \lambda \longrightarrow D_0 = 2N \frac{d}{\lambda}$
- Array Endfire ordinario : $d \leq \left(1 - \frac{1}{2N}\right) \frac{\lambda}{2} \longrightarrow D_0 = 4N \frac{d}{\lambda}$

- Alimentación no uniforme y fase progresiva, siempre que N grande, $d < \lambda$, α pequeño, sin Grating lobes:

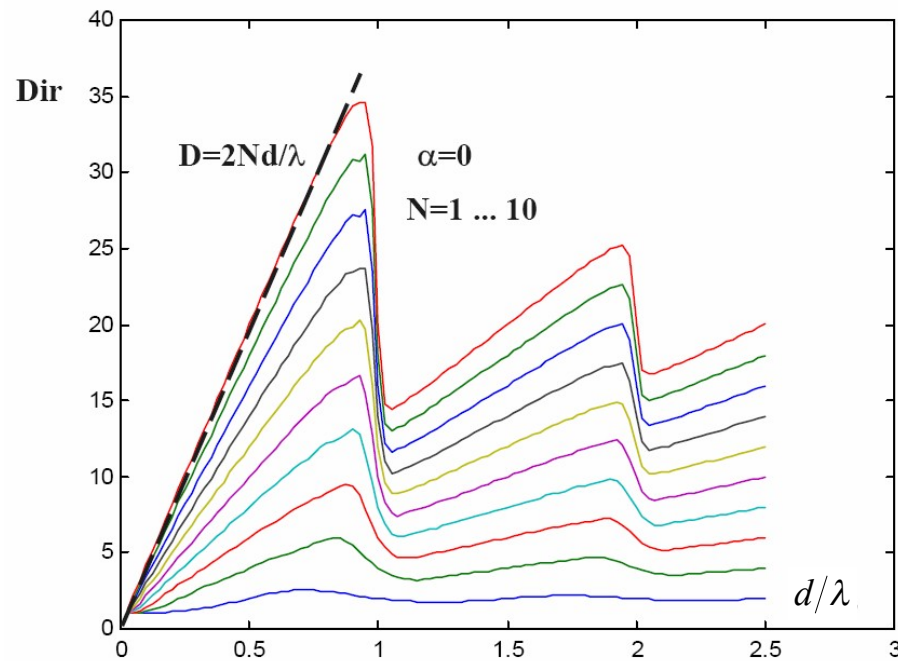
$$D_0 = 2 \frac{d}{\lambda} \frac{\left(\sum_{i=0}^{N-1} a_i\right)^2}{\sum_{i=0}^{N-1} a_i^2}$$

- Para endfire ordinario, con $d < \lambda/2 \rightarrow$

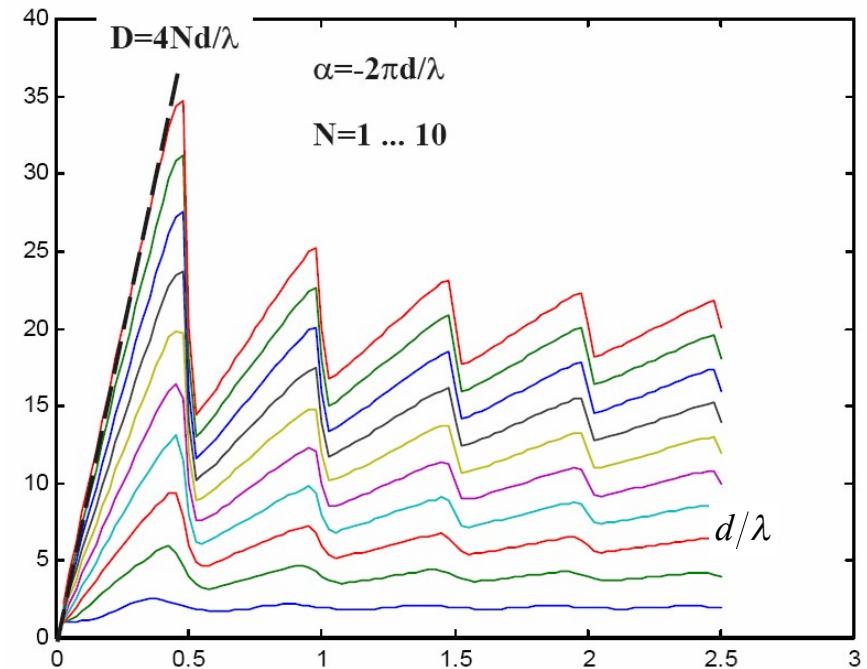
$$D_0 = 4 \frac{d}{\lambda} \frac{\left(\sum_{i=0}^{N-1} a_i\right)^2}{\sum_{i=0}^{N-1} a_i^2}$$

3.- Arrays lineales equiespaciados. *Directividad*

- Array lineal Broadside uniforme

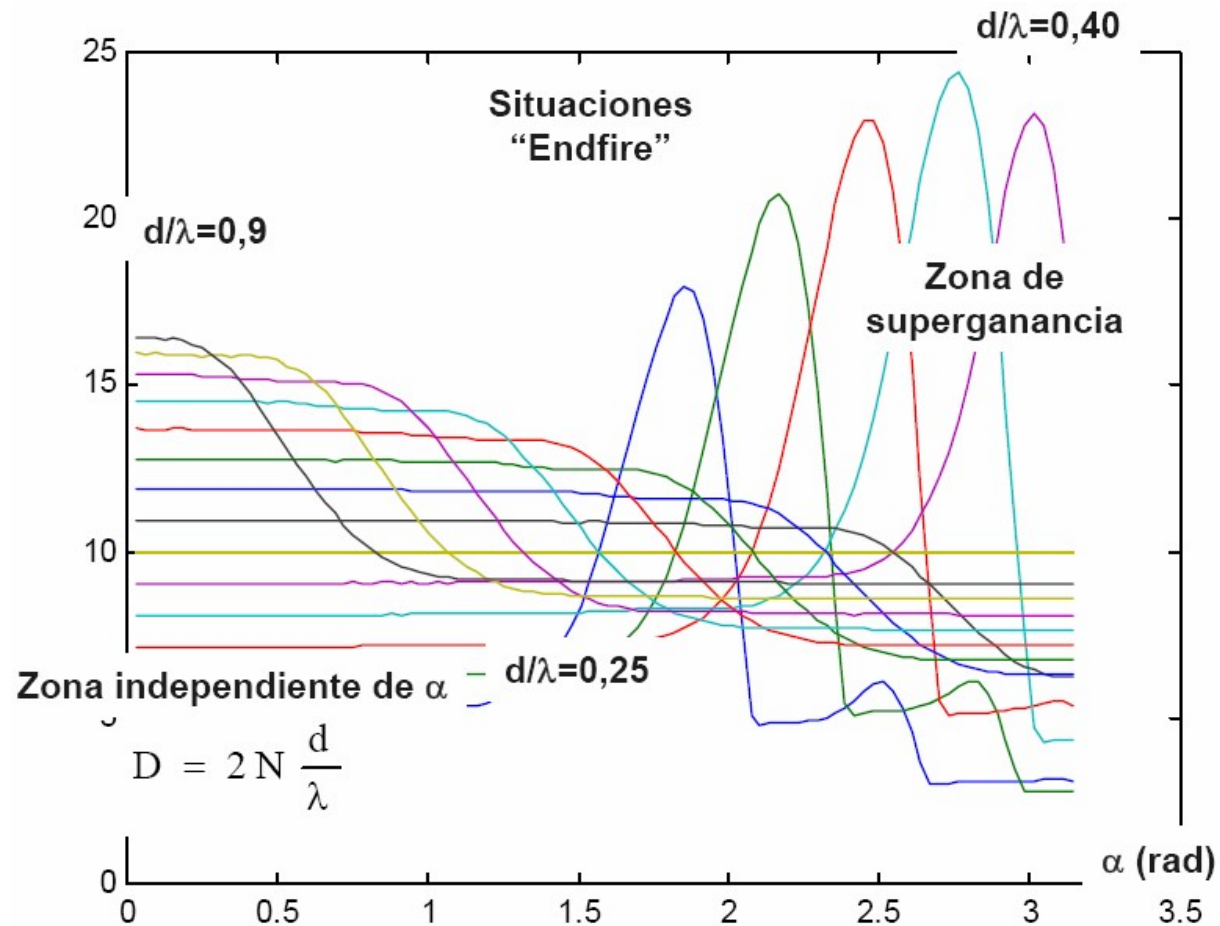


- Array lineal Endfire ordinario uniforme



3.- Arrays lineales equiespaciados. *Directividad*

- Array lineal de N=10 elementos uniforme en amplitud y fase progresiva



4.- Síntesis de Schelkunoff para arrays lineales equiespaciados

- En un array de N elementos equiespaciados con coeficientes de alimentación complejos A_i , el factor de array se identifica con un polinomio de grado N-1 de variable compleja z.

$$A_i = a_i \cdot e^{j\alpha_i}$$

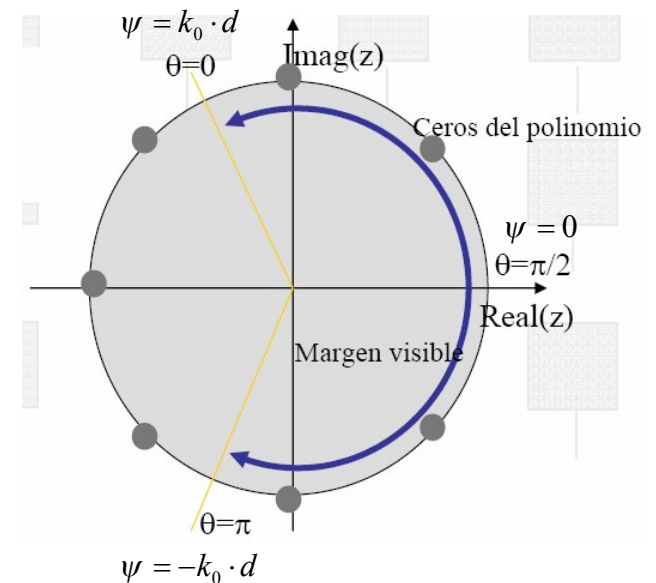
$$z = e^{j\psi}$$

$$F_A(\psi) = \sum_{i=0}^{N-1} A_i \cdot e^{j \cdot i \cdot \psi} = \sum_{i=0}^{N-1} A_i \cdot z^i = A_{N-1} (z - z_1)(z - z_2) \dots (z - z_{N-1})$$

$$\psi = k_0 \cdot d \cdot \cos \theta$$

$$|F_A(\psi)| = |A_{N-1}| |z - z_1| |z - z_2| \dots |z - z_{N-1}|$$

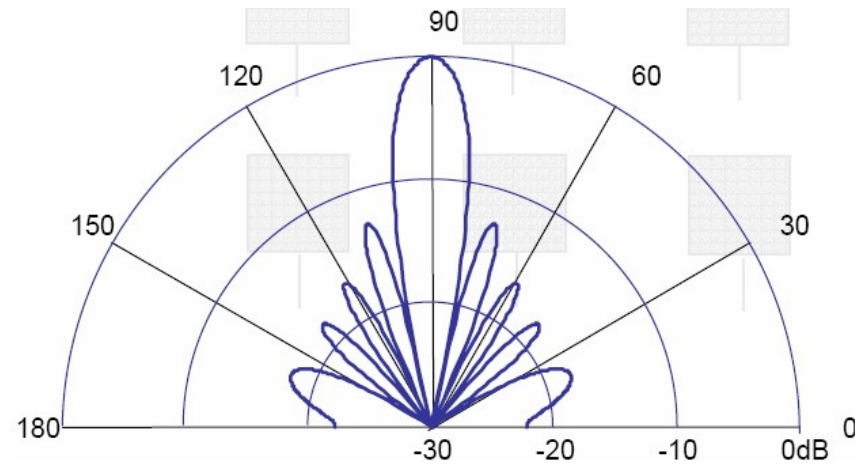
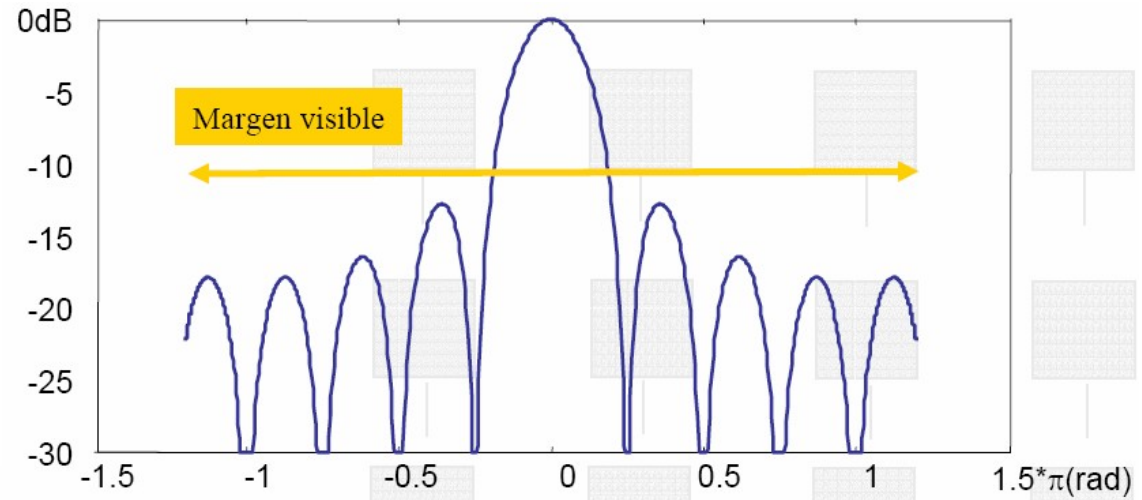
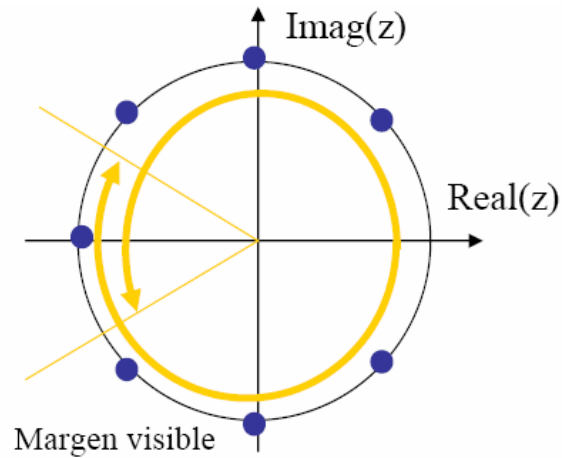
- A efectos de diagrama de radiación, la variable z toma sus valores dentro de la circunferencia de radio 1 y en el margen visible ($-k_0 d \leq \Psi \leq k_0 d$) \leftrightarrow ($0 \leq \theta \leq \pi$)
- Cada raíz sobre el círculo unidad dentro del margen visible, aporta un nulo al diagrama
- Los máximos (lóbulos) se sitúan entre raíces, y el máximo principal (lóbulos principal), se sitúa entre las raíces más alejadas
- Si A_i son reales y simétricos \rightarrow las raíces se agrupan en parejas conjugadas
- Si alguna de las raíces no se sitúa sobre el círculo de radio 1, el nulo al que hace referencia estará relleno.



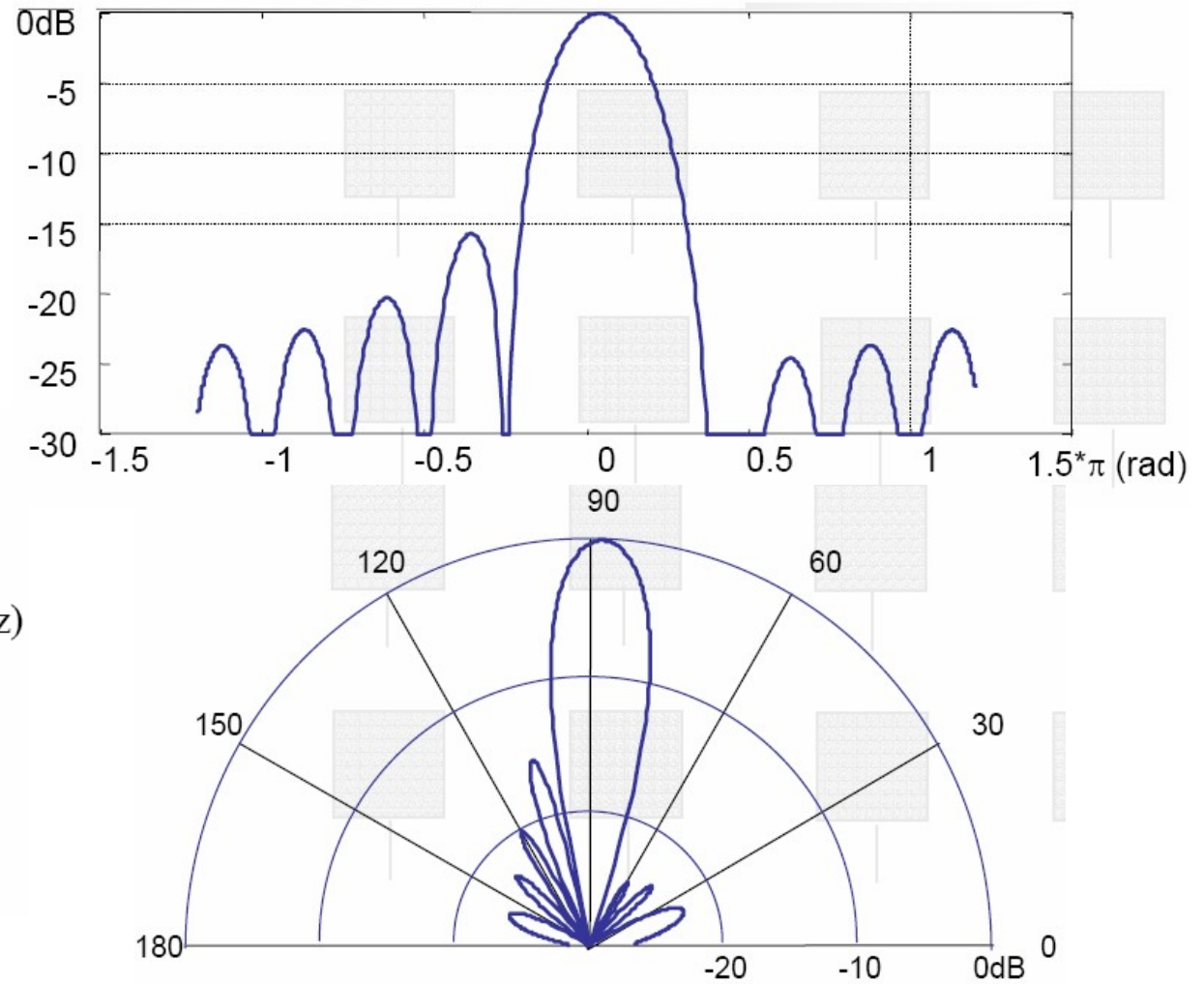
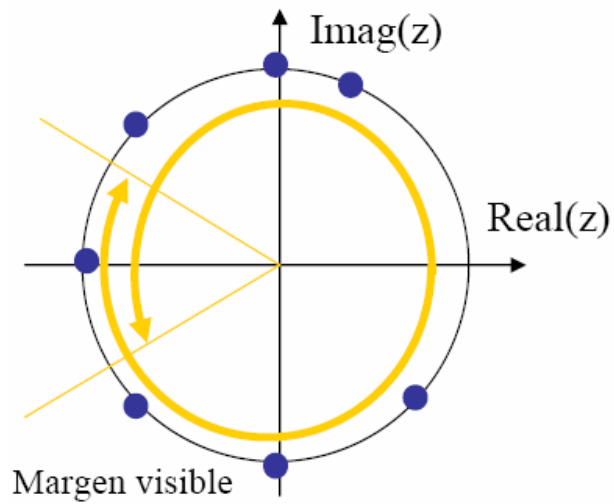
N=8, $\alpha=0$
Alimentación
uniforme

4.- Síntesis de Schelkunoff para arrays lineales equiespaciados

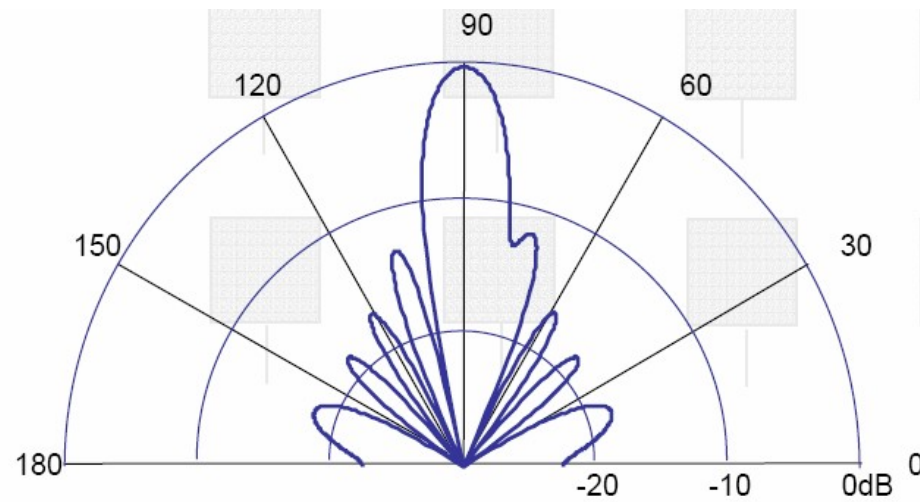
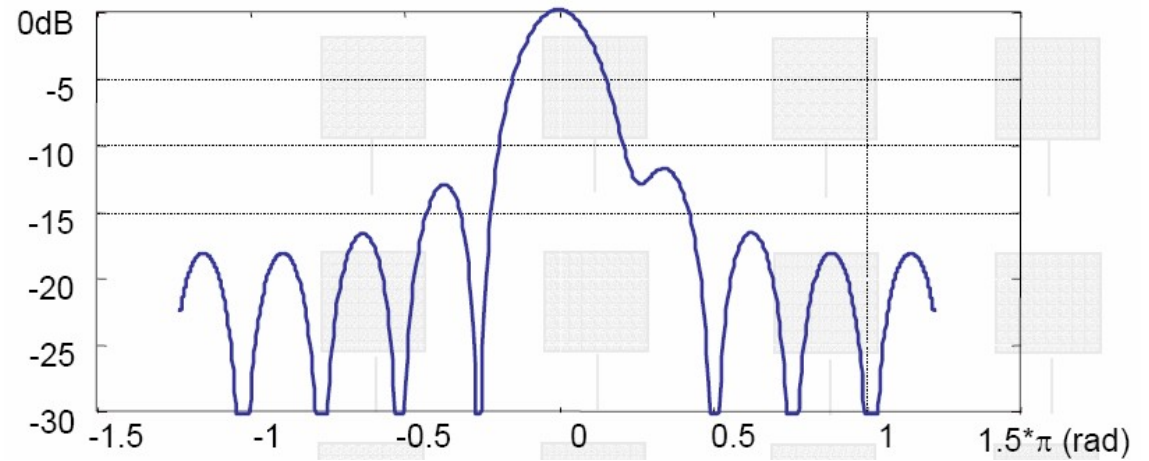
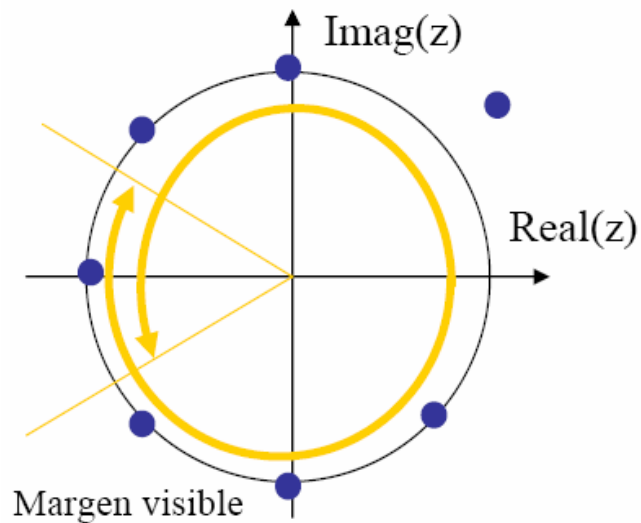
$N=8, \alpha=0, d=0.6\lambda$
Alimentación uniforme



4.- Síntesis de Schelkunoff para arrays lineales equiespaciados



4.- Síntesis de Schelkunoff para arrays lineales equiespaciados



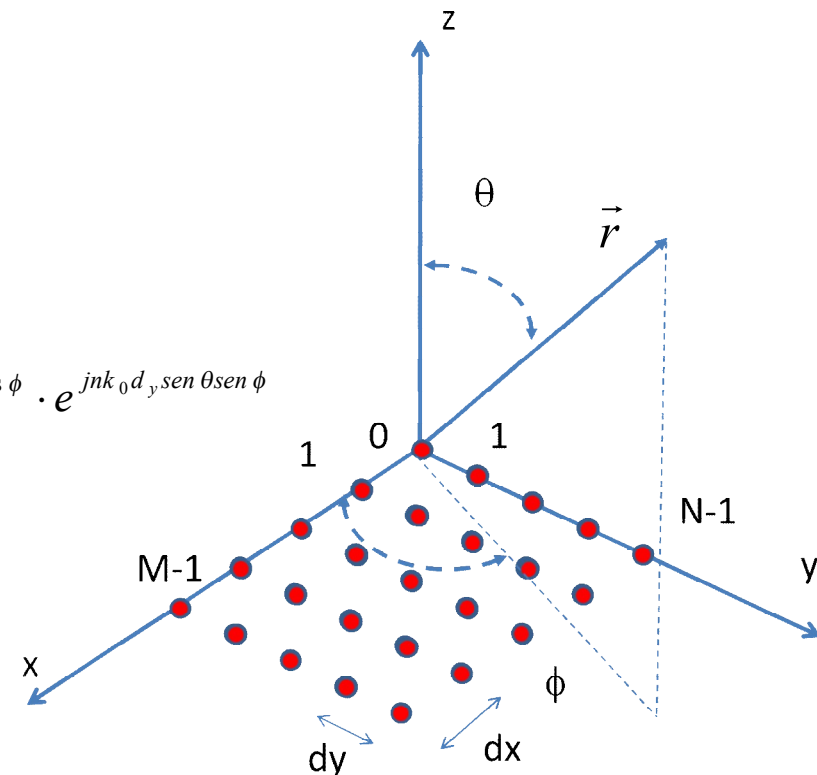
5.- Arrays reticulares planos

- En un array de N elementos equiespaciados con coeficientes de alimentación complejos A_i , el factor de array se identifica con un polinomio de grado N-1 de variable compleja z.
- Se obtienen haces tipo pincel orientados en cualquier dirección (θ, ϕ)
- Se forman por una retícula rectangular de MxN elementos situados en el plano XY, con separación uniforme entre ellos de d_x en dirección X y d_y en dirección Y.

$$\hat{r} = (\text{sen } \theta \cdot \cos \phi \cdot \hat{x} + \text{sen } \theta \cdot \text{sen } \phi \cdot \hat{y} + \cos \theta \cdot \hat{z})$$

$$\vec{r}_{mn} = md_x \cdot \hat{x} + nd_y \cdot \hat{y}$$

$$F_A(\theta, \phi) = \sum_{m=1}^{M-1} \sum_{n=1}^{N-1} A_{mn} \cdot e^{jk_0 \hat{r} \cdot \vec{r}_{mn}} = \sum_{m=1}^{M-1} \sum_{n=1}^{N-1} A_{mn} \cdot e^{jmk_0 d_x \text{sen } \theta \cos \phi} \cdot e^{jnk_0 d_y \text{sen } \theta \text{sen } \phi}$$



5.- Arrays reticulares planos. *Distribuciones separables*

- Es el caso más habitual. Los coeficientes de alimentación son reales y positivos, y las fases progresivas.
- El factor de array se puede interpretar como un array lineal en x, cuyo elemento unitario es el factor de array en y (o viceversa)
- Diseño independiente del factor de array según los dos planos principales F_{Ax} y F_{Ay}

$$\left. \begin{aligned} A_{mn} &= a_m \cdot e^{jm\alpha_x} a_n \cdot e^{jn\alpha_y} \\ \psi_x &= k_0 \cdot d_x \cdot \text{sen}\theta \cdot \cos\phi + \alpha_x \\ \psi_y &= k_0 \cdot d_y \cdot \text{sen}\theta \cdot \text{sen}\phi + \alpha_y \end{aligned} \right\} \longrightarrow F_A(\psi_x, \psi_y) = \sum_{m=0}^{M-1} a_m \cdot e^{j \cdot m \cdot \psi_x} \sum_{n=0}^{N-1} a_n \cdot e^{j \cdot n \cdot \psi_y} = F_{Ax}(\psi_x) \cdot F_{Ay}(\psi_y)$$

- Si los coeficientes A_{mn} son reales y positivos, y las fases progresivas, la dirección de máximo apuntamiento se obtiene como:

$$\left. \begin{aligned} \psi_x = 0 &\Rightarrow k_0 \cdot d_x \cdot \text{sen}\theta_0 \cdot \cos\phi_0 = -\alpha_x \\ \psi_y = 0 &\Rightarrow k_0 \cdot d_y \cdot \text{sen}\theta_0 \cdot \text{sen}\phi_0 = -\alpha_y \end{aligned} \right\} \longrightarrow \begin{aligned} \theta_0 &= \text{sen}^{-1} \sqrt{\left(\frac{\alpha_x}{k_0 d_x}\right)^2 + \left(\frac{\alpha_y}{k_0 d_y}\right)^2} < 1 \text{ para que exista lóbulo principal} \\ \phi_0 &= \tan^{-1} \left(\frac{\alpha_y d_x}{\alpha_x d_y}\right) \end{aligned}$$

5.- Arrays reticulares planos. *Distribuciones separables*

- Factor de array con excitación uniforme en amplitud:

$$|F_A(\psi_x, \psi_y)| = |F_{Ax}(\psi_x)| \cdot |F_{Ay}(\psi_y)| = \left| \frac{\text{sen}\left(\frac{M}{2}\psi_x\right)\text{sen}\left(\frac{N}{2}\psi_y\right)}{\text{sen}\left(\frac{\psi_x}{2}\right)\text{en}\left(\frac{\psi_y}{2}\right)} \right|$$

- El ancho de haz entre nulos:

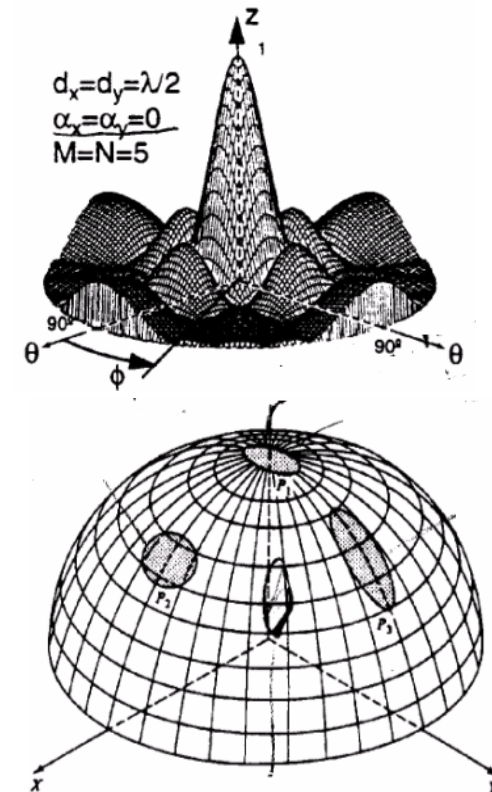
$$\Delta\theta = \frac{\Delta\theta_{x0}\Delta\theta_{y0}}{\cos\theta_0}, \text{ tal que, } \Delta\theta_{x0} = \frac{2\lambda}{Md_x} \quad \Delta\theta_{y0} = \frac{2\lambda}{Nd_y}$$

- Directividad:

$$D_0 = \frac{4\pi}{\Omega_A}$$

$$\Omega_A \approx \frac{\Delta\theta}{4} \Rightarrow D_0 \approx \pi \frac{2Md_x}{\lambda} \cdot \frac{2Nd_y}{\lambda} \cos\theta_0$$

$$D_0 \approx \pi \cdot D_x \cdot D_y \cos\theta_0$$

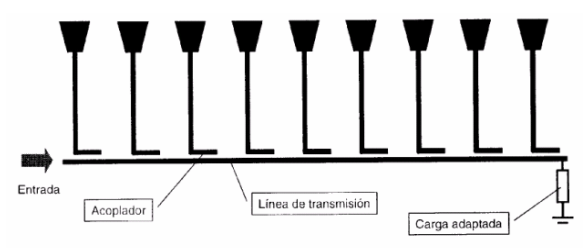
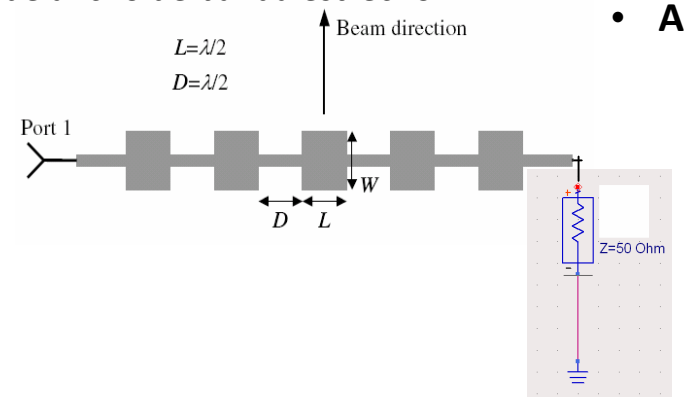


- Esta expresión de directividad es válida para cualquier tipo de excitación en función de la directividad de los arrays broadside lineales D_x y D_y

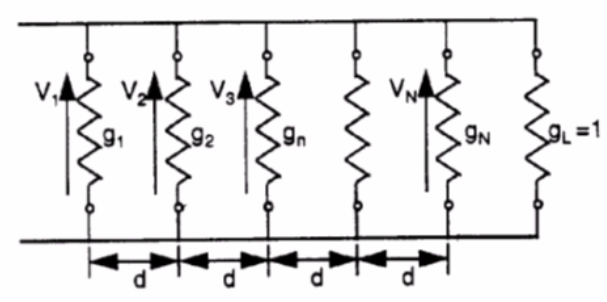
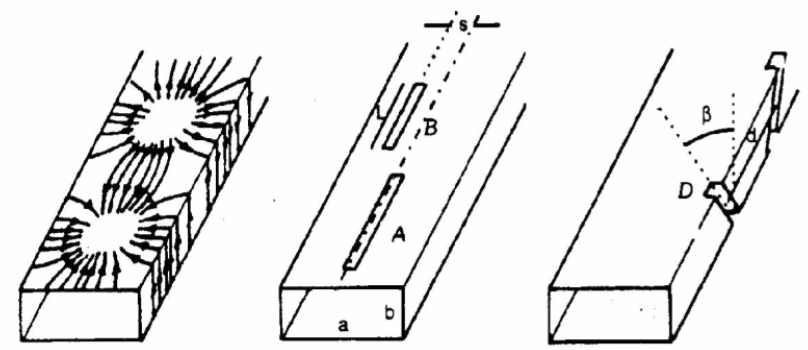
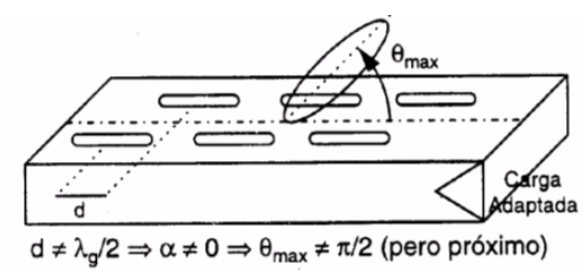
6.- Redes de alimentación. *Excitaciones tipo Serie*

- La red de alimentación distribuye la potencia de entrada al array, de manera que cada elemento radiante tenga los coeficientes de alimentación en módulo y fase adecuados A_i
- En las redes tipo serie, la impedancia de entrada de cada elemento unitario del array se distribuye en serie dentro de la red de distribución de potencia
- Son de ancho de banda estrecho

• Array serie de parches

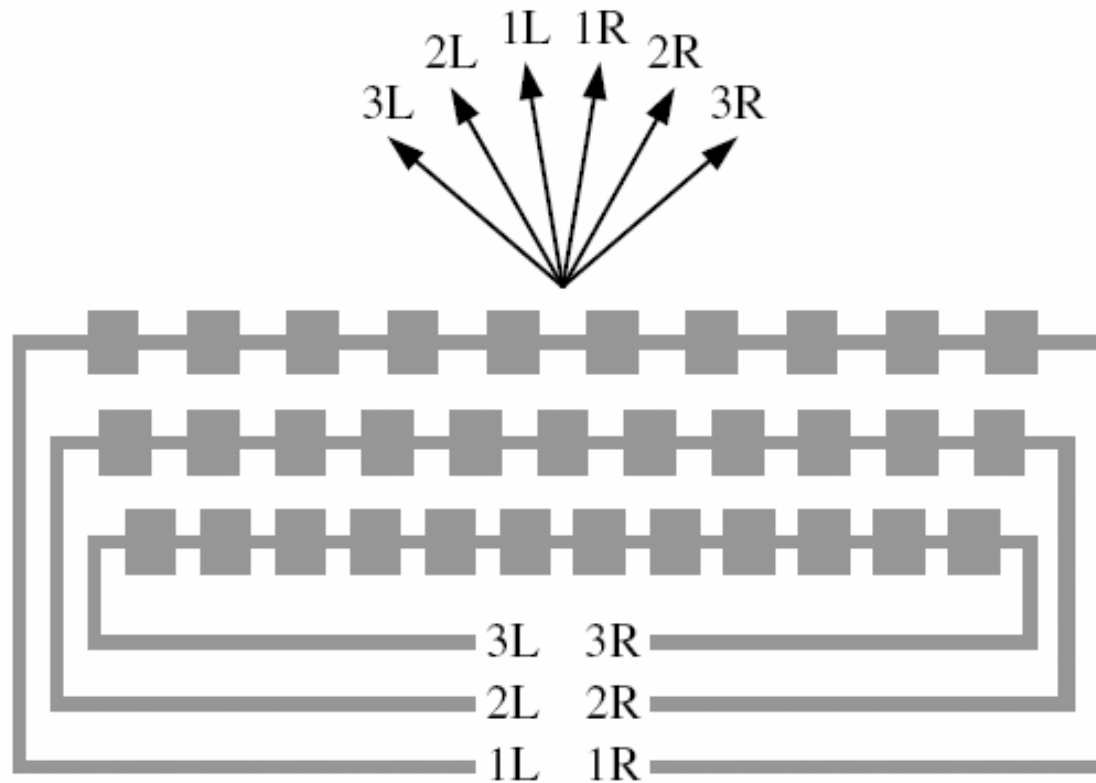


• Array serie de ranuras sobre guía



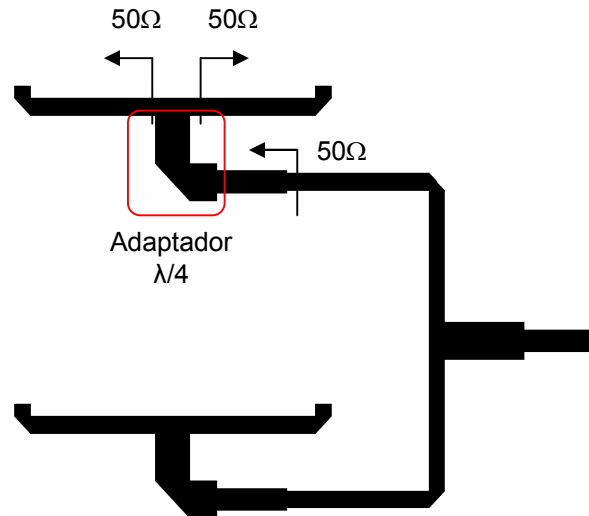
6.- Redes de alimentación. *Excitaciones tipo Serie*

- Red multihaz

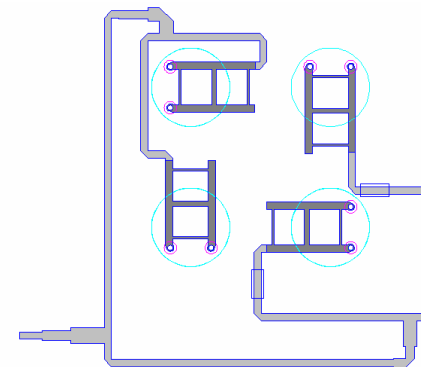
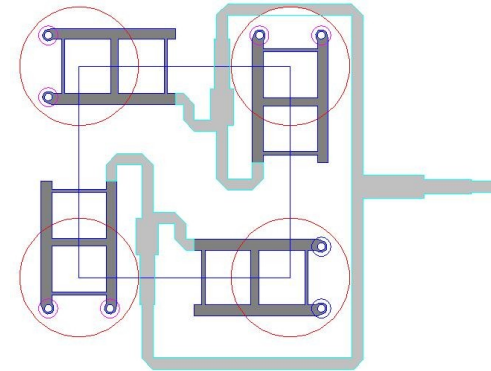


6.- Redes de alimentación. *Excitaciones tipo Paralelo*

- A la hora de diseñar la red de distribución de potencia que obtenga los coeficientes de alimentación A_i , la impedancia de entrada de los elementos unitarios, se posiciona en paralelo dentro de la red.
- Las divisiones de potencia se realizan en nodos de la misma tensión.
- Son de ancho de banda grande



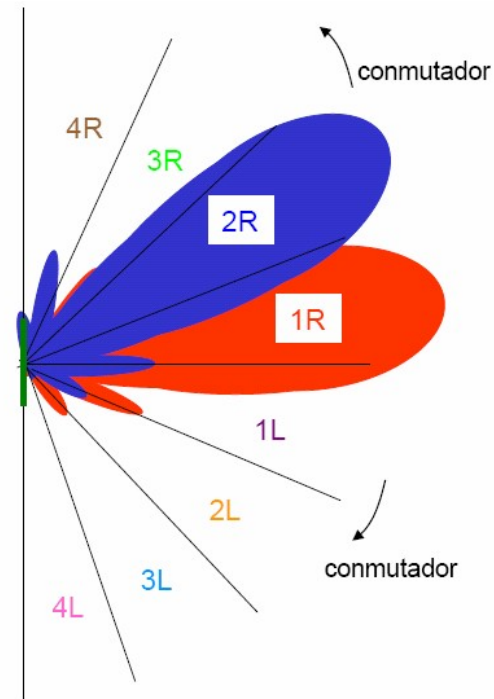
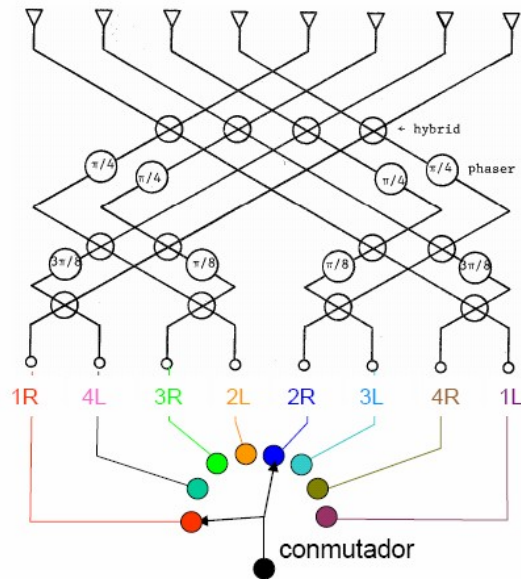
• Red multipolarización



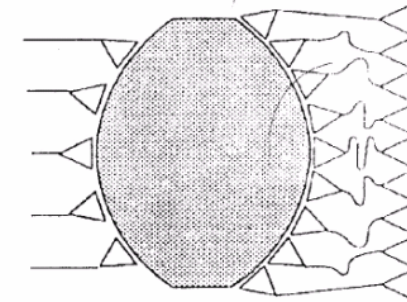
6.- Redes de alimentación. *Excitaciones tipo Paralelo*

Redes de haces conmutados

- **Matriz de Butler**

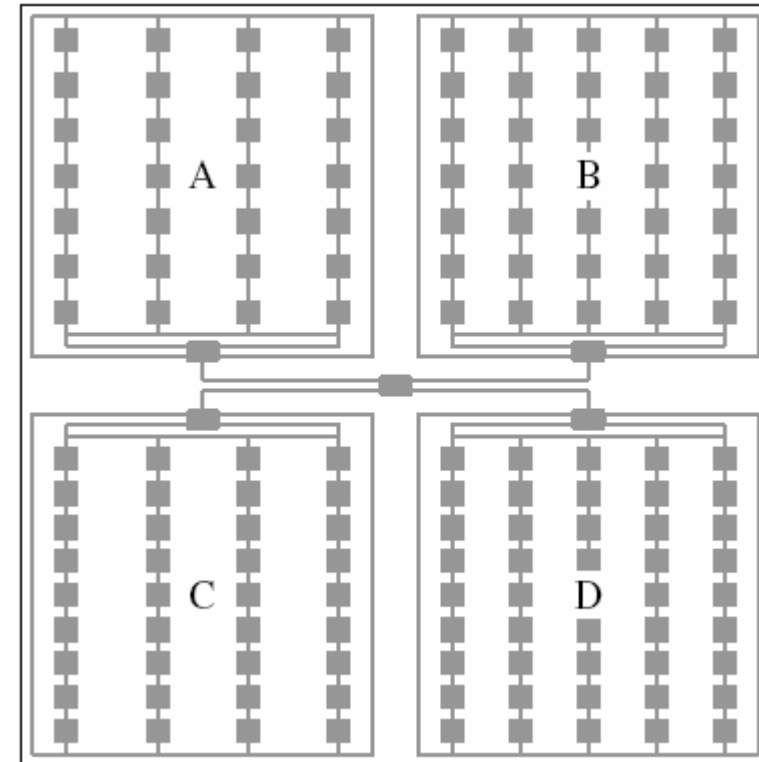
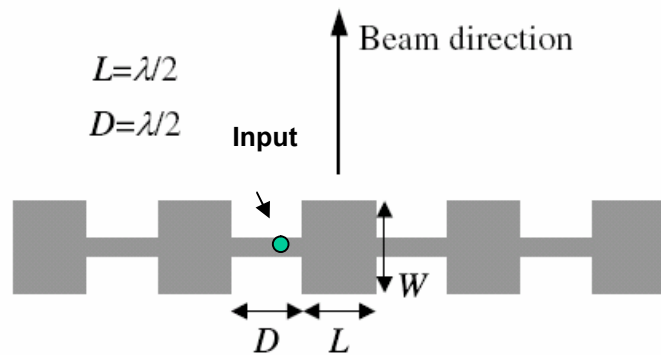


- **Lentes de Rotzman**



6.- Redes de alimentación. *Excitaciones híbridas Serie-Paralelo*

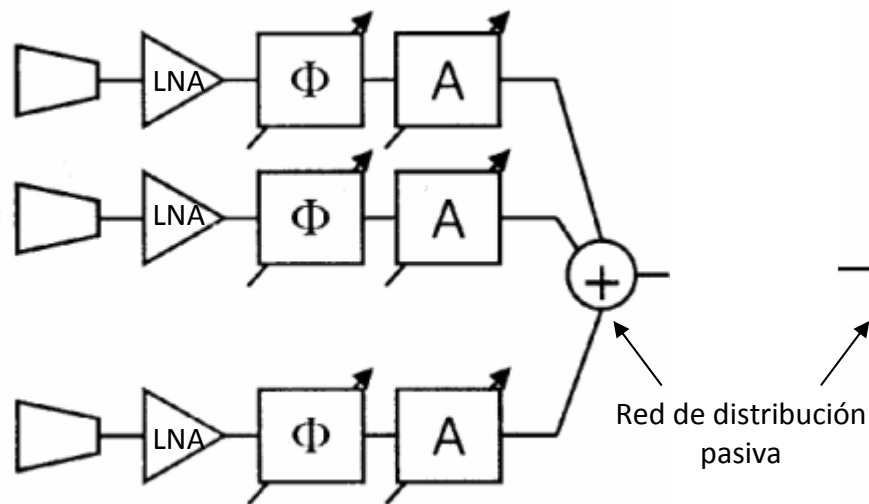
- Opción combinada de redes tipo serie y paralelo
- Son de ancho de banda medio



6.- Redes de alimentación. *Redes activas*

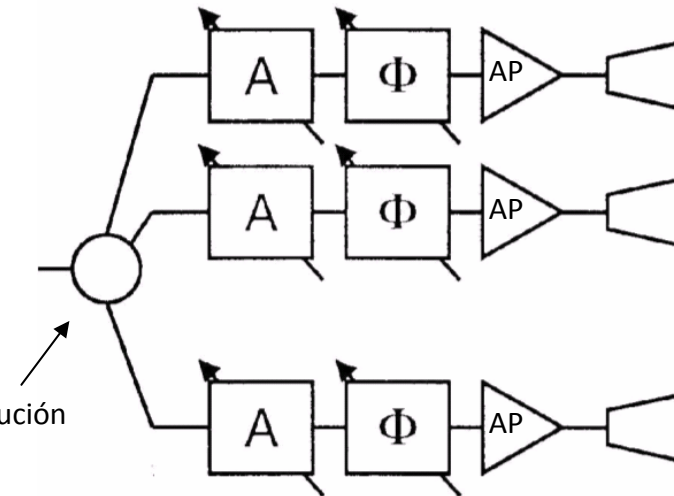
- Variación analógica de la amplitud y la fase de transmisión o recepción.
- La amplitud permite el control de los lóbulos secundarios
- La fase permite el control del ángulo de apuntamiento del array = Phased Arrays

- **Phased array en recepción**



- Mejor figura de ruido, ya que, el LNA está unido a la antena, y no tras la suma de las señales combinadas de la agrupación

- **Phased array en transmisión**

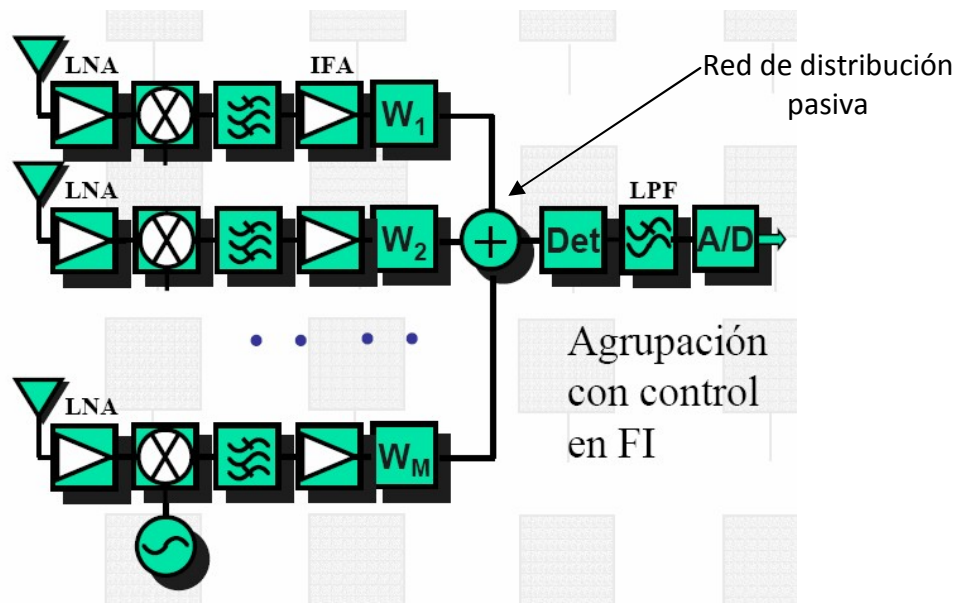


- Mayor capacidad de transmisión de potencia, gracias a la inclusión de una amplificador por rama.

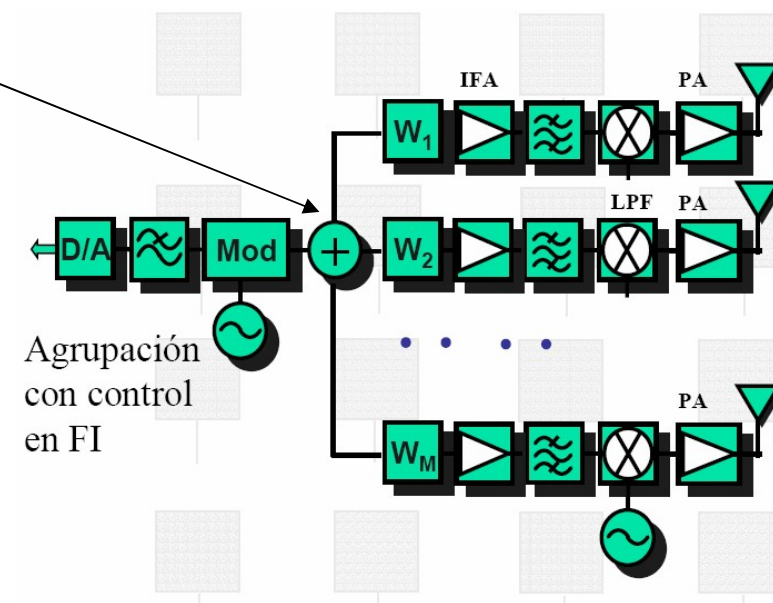
6.- Redes de alimentación. *Redes activas*

- Debido al alto coste de los moduladores de amplitud y fase de RF, se tiende a realizar el control de los pesos de alimentación (w_i) en una frecuencia intermedia (FI)
- Aumento del número de elementos en el receptor o transmisor del array.

• Phased array en recepción

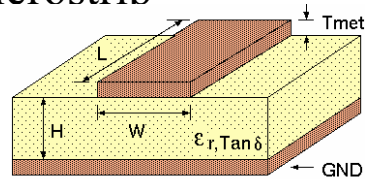


• Phased array en transmisión

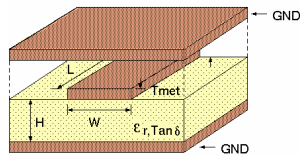


6.- Redes de alimentación. Arquitecturas básicas microtira

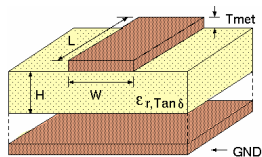
➤ Línea microstrip



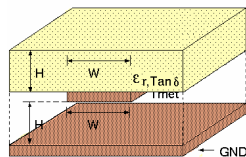
➤ Línea microstrip cubierta



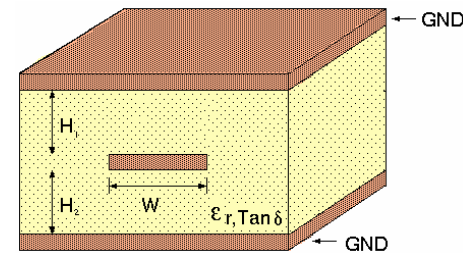
➤ Línea microstrip suspendida



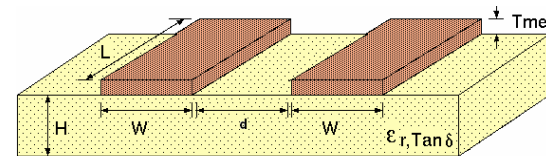
➤ Línea microstrip invertida



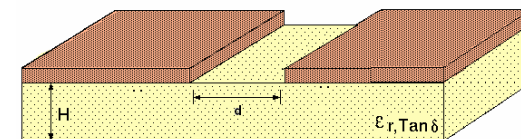
➤ Línea stripline o triplaca



➤ Línea coplanar



➤ Línea slot



6.- Redes de alimentación. *Arquitecturas básicas microtira*



- Sus características básicas:
 - Anchura de línea w
 - Espesor de línea t
 - Pérdidas de línea α_c : rugosidad, conductividad del metal
 - Espesor de substrato h
 - Constante dieléctrica del substrato ϵ_r
 - Pérdidas de substrato: tangente de pérdidas $\tan(\delta)$
 - Pérdidas de radiación α_r : radiación espuria, discontinuidad
- Sus parámetros:
 - Impedancia característica Z
 - Constante dieléctrica efectiva ϵ_{eff}

6.- Redes de alimentación. *Arquitecturas básicas microtira*



➤ Velocidad de fase v_p :
$$v_p = \frac{c_0}{\sqrt{\mu_r \epsilon_r}}$$

➤ Longitud de onda del medio λ_g :
$$\lambda_g = \frac{\lambda_0}{\sqrt{\mu_r \epsilon_r}}$$

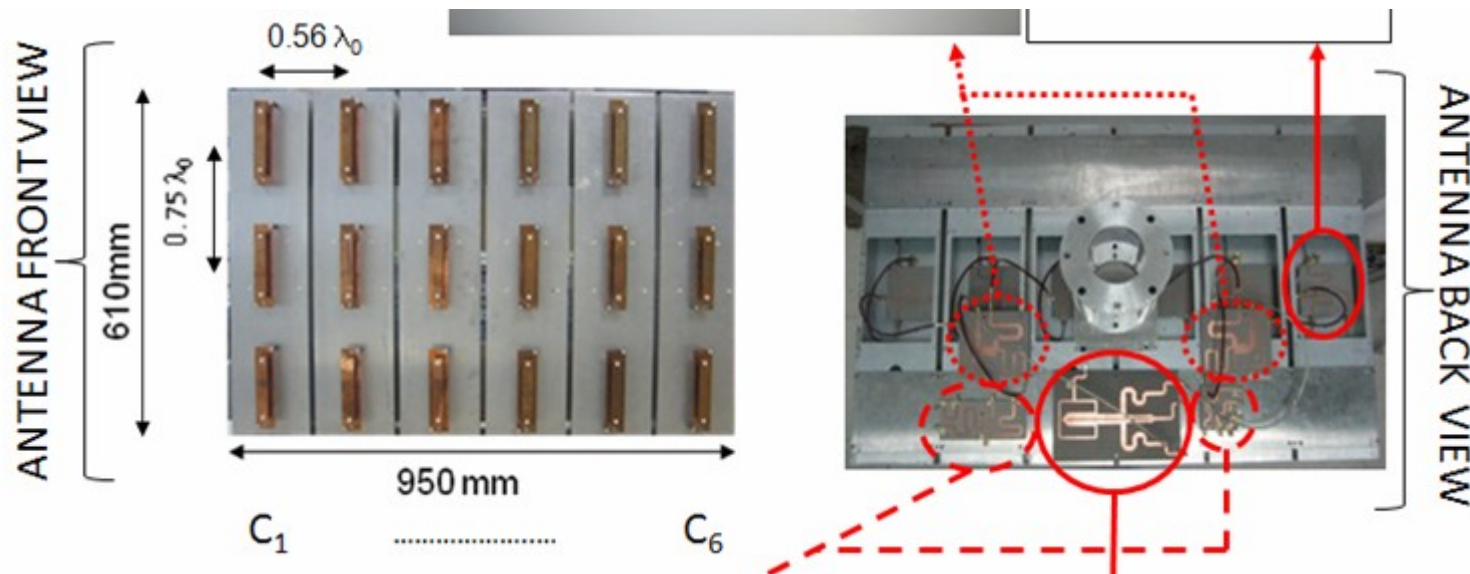
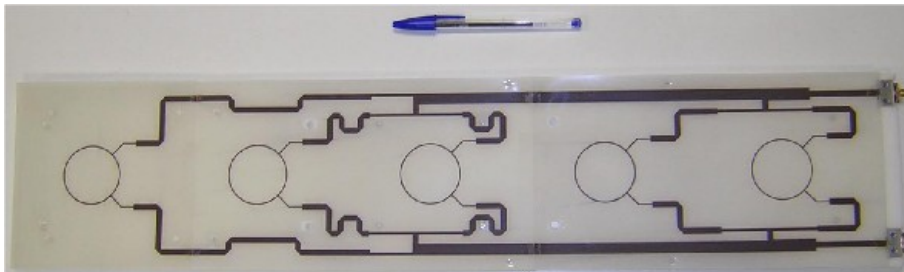
Dieléctrico no-homogéneo:

$$\lambda_g = \frac{\lambda_0}{\sqrt{\epsilon_{eff}}} \quad v_{p_g} = \frac{c_0}{\sqrt{\epsilon_{eff}}}$$

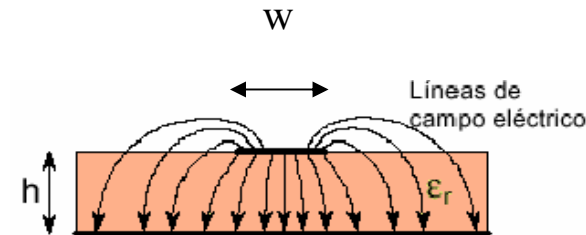
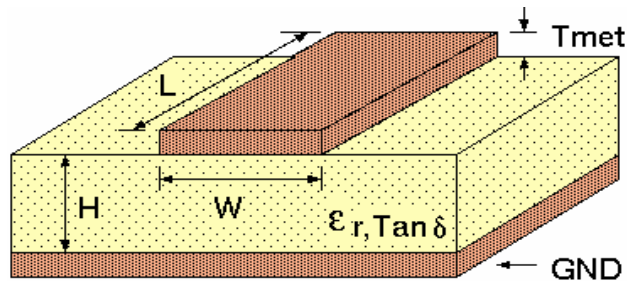
- Dieléctricos no-homogéneos: cuando tenemos varios dieléctricos (multicapa) o cuando ϵ_r , μ_r varían con la posición en el dieléctrico.
- La constante dieléctrica efectiva ϵ_{eff} tiene en cuenta la propagación de la onda en dieléctricos no-homogéneo.

6.- Redes de alimentación. *Arquitecturas básicas microtira*

- Ejemplos de redes de alimentación microstrip



6.- Redes de alimentación. *Línea microstrip*



- Estructura de línea de transmisión más común.
- Modo fundamental es quasi-TEM \Rightarrow estando la mayor parte del campo confinado en el dieléctrico.
- Dieléctrico eléctricamente delgado ($0.003\lambda < h < 0.05\lambda$) \Rightarrow para evitar ondas de superficie.
- Constante dieléctrica ϵ_r : $2.2 < \epsilon_r < 12$ \Rightarrow para que las líneas de campo estén confinadas entorno a la línea microstrip.

6.- Redes de alimentación. Línea microstrip



• Sus características :

➤ Impedancia característica Z : $\Rightarrow 0.05 \leq w/h \leq 100, \epsilon_r \leq 16 \Rightarrow 0.2\% \text{ error}$

$$Z = \frac{\overset{\text{Impedancia del medio}}{\eta_0}}{\sqrt{\epsilon_{eff}}} \cdot \overset{\text{Cte. geométrica}}{K_g} = \frac{\sqrt{\frac{\mu_0}{\epsilon_0}}}{2\pi\sqrt{\epsilon_{eff}}} \ln \left(\frac{6 + (2\pi - 6) \cdot e^{\left(-\left(\frac{30.666 \cdot h}{w}\right)^{0.7528}\right)} \cdot h}{w} + \sqrt{1 + \frac{4 \cdot h^2}{w^2}} \right)$$

Constante dieléctrica efectiva ϵ_{eff} : $\Rightarrow \epsilon_r \leq 16, 0.05 \leq w/h \leq 20 \Rightarrow 1\% \text{ error}$

$$\epsilon_{eff} = \frac{\epsilon_r + 1}{2} + \frac{\epsilon_r - 1}{2} \left[\left(1 + \frac{12 \cdot h}{w}\right)^{-\frac{1}{2}} + 0.04 \left(1 + \frac{w}{h}\right)^2 \right] \quad w/h < 1$$

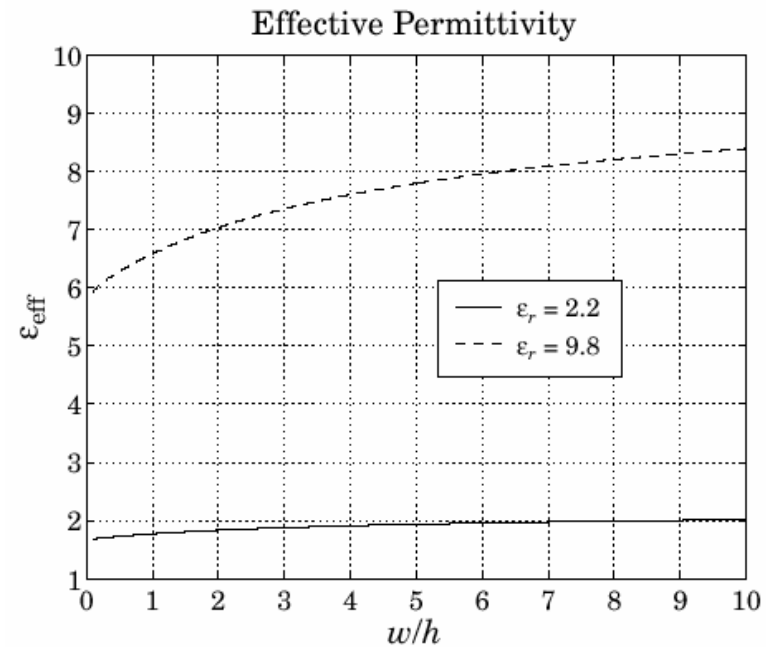
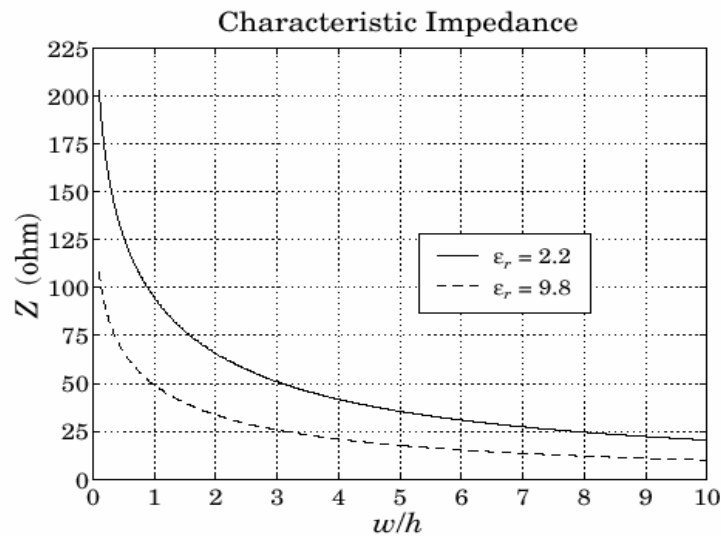
$$\epsilon_{eff} = \frac{\epsilon_r + 1}{2} + \frac{\epsilon_r - 1}{2} \left(1 + \frac{12 \cdot h}{w}\right)^{-\frac{1}{2}} \quad w/h \geq 1$$

- < 2% error para $\epsilon_r > 16$
- < 2% error para $\frac{w}{h} < 0.05$

6.- Redes de alimentación. *Línea microstrip*

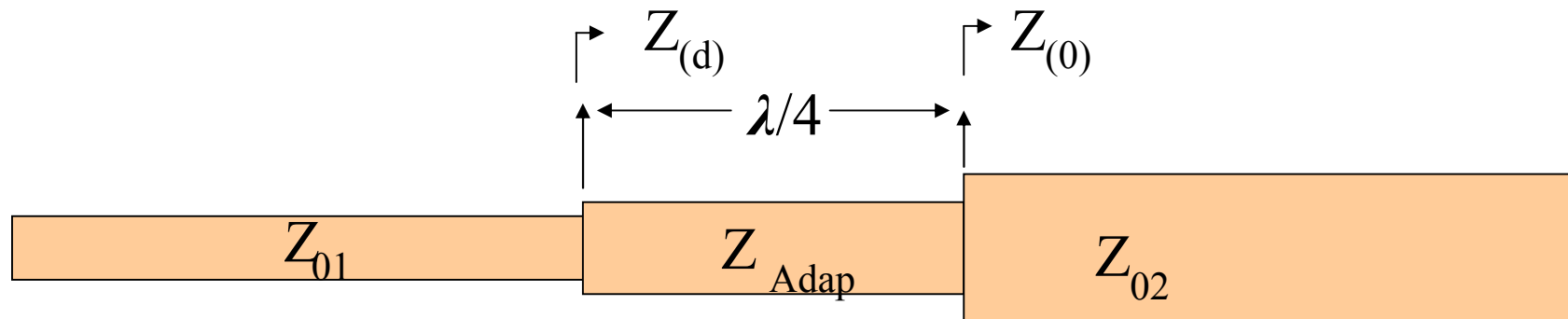
- Algunos substratos dieléctricos típicos utilizados en líneas microstrip son:
 - RT-Duroid 5880 (composito del teflón) $\epsilon_r = 2.2$
 - Alumina (ceramica de Al_2O_3 (97%)) $\epsilon_r = 9.8$
- Valores prácticos de anchura/espesor están en el rango de
- Valores prácticos de impedancia característica están entre $10 \leq Z \leq 200 \text{ ohm}$

$$0.1 \leq \frac{w}{h} \leq 10$$



6.- Redes de alimentación. Estructuras básicas

1- Adaptador $\lambda/4$



Aproximación sin pérdidas:

$$Z(d) = Z_{adap} \frac{Z(0) \cos \beta d + Z_{adap} j \operatorname{sen} \beta d}{Z_{adap} \cos \beta d + Z(0) j \operatorname{sen} \beta d}$$

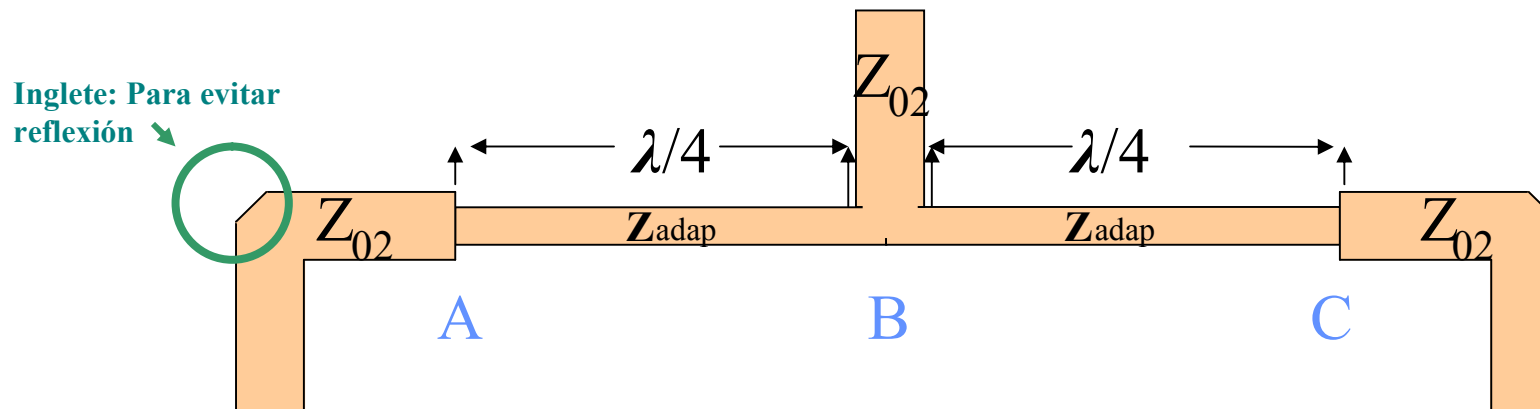
Caso $\lambda/4$

$$Z(d) = Z_{adap} \frac{Z(0) \cos \frac{\pi}{2} + Z_{adap} j \operatorname{sen} \frac{\pi}{2}}{Z_{adap} \cos \frac{\pi}{2} + Z(0) j \operatorname{sen} \frac{\pi}{2}} = Z_{adap} \frac{Z_{adap}}{Z(0)}$$

$$\boxed{Z_{adap} = \sqrt{Z(0)Z(d)}} \left\{ \begin{array}{l} Z(0) = Z_{02} \\ Z(d) = Z_{01}^* = Z_{01} \end{array} \right.$$

6.- Redes de alimentación. Estructuras básicas

2- Divisor de Potencia



Punto A: $Z(A) = Z_{02}$

Punto C: $Z(C) = Z_{02}$

Punto B:

$$Z(B) = Z(B_{izq}) // Z(B_{der}) = \frac{Z(B_{izq}) \cdot Z(B_{der})}{Z(B_{izq}) + Z(B_{der})}$$

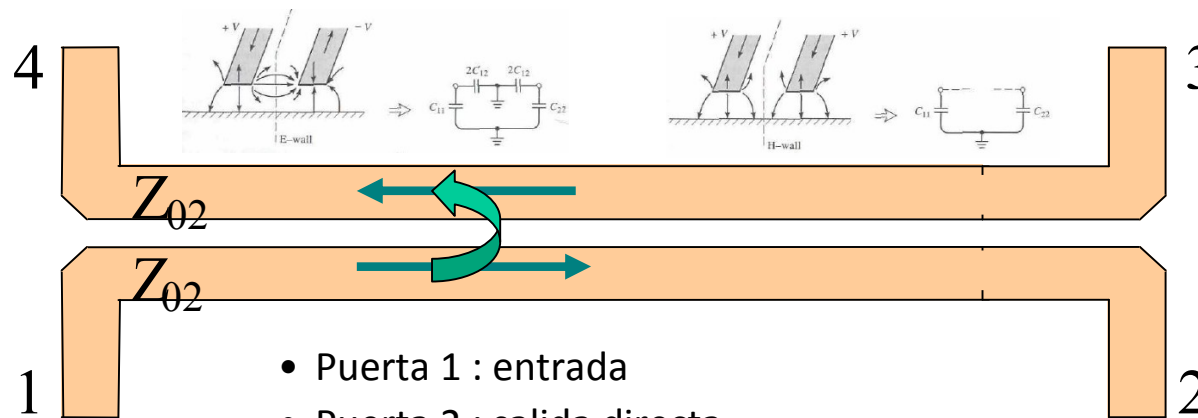
$$Z(B) = Z_{02}$$

$$Z(B_{izq}) = Z(B_{izq}) = \frac{Z_{adap}^2}{Z_{02}}$$

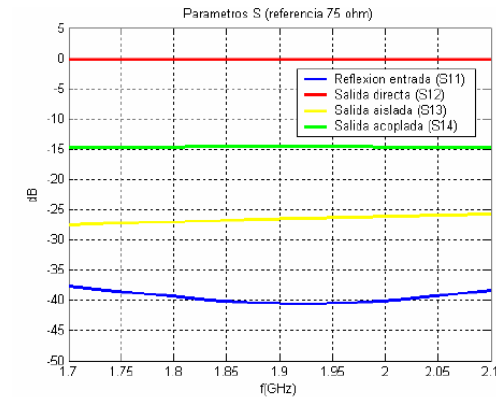
$$Z_{02} = \frac{\frac{Z_{adap}^2}{Z_{02}} \cdot \frac{Z_{adap}^2}{Z_{02}}}{\frac{Z_{adap}^2}{Z_{02}} + \frac{Z_{adap}^2}{Z_{02}}} = \frac{Z_{adap}^2}{2Z_{02}}$$

$$Z_{adap} = \sqrt{2}Z_{02}$$

3- Acoplador direccional



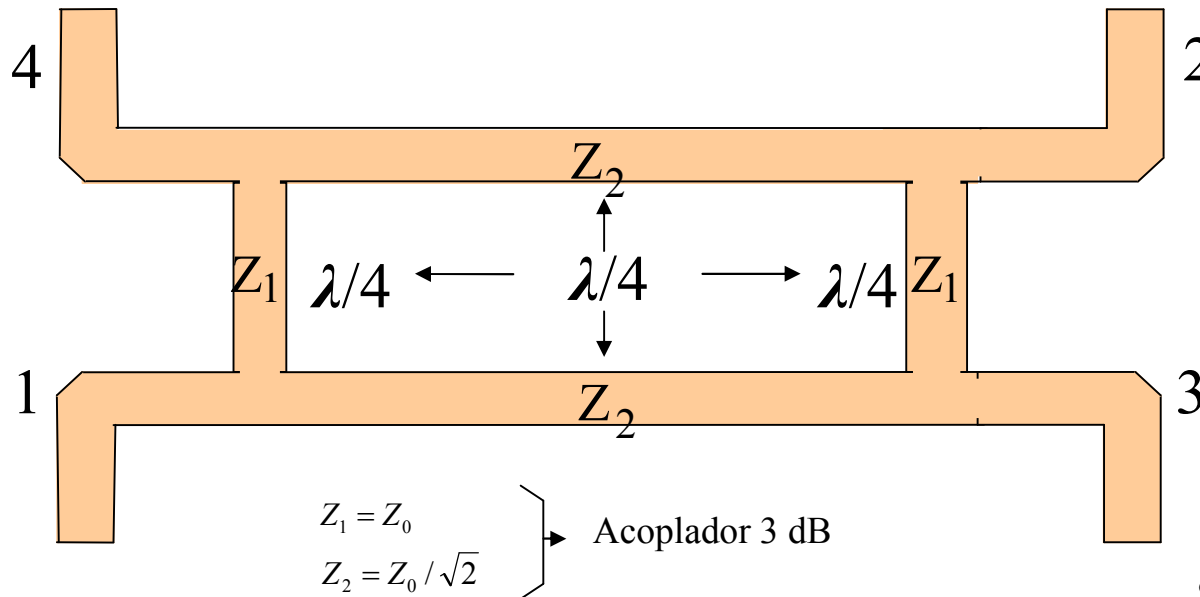
- Puerta 1 : entrada
- Puerta 2 : salida directa
- Puerta 3 : salida aislada
- Puerta 4 : salida acoplada



- Parte de la potencia que entra (**entrada**) en el acoplador sale por una de las puertas, llamada **directa**, y el resto sale por la puerta denominada **acoplada**.
- La relación de potencias entre las salidas (**directa** y **acoplada**) es un parámetro de diseño del acoplador.
- La señal de salida entre las puerta **directa** y **acoplada** tienen un desfase de 90° .
- En la puerta **aislada**, idealmente, no aparece potencia.

6.- Redes de alimentación. Estructuras básicas

4- Acoplador Híbrido 90°



- Puerta 1 : entrada
- Puerta 2 : salida -90°
- Puerta 3 : salida directa
- Puerta 4 : salida aislada

$$S = \frac{1}{\sqrt{2}} \begin{bmatrix} 0 & -j & -1 & 0 \\ -j & 0 & 0 & -1 \\ -1 & 0 & 0 & -j \\ 0 & -1 & -j & 0 \end{bmatrix}$$

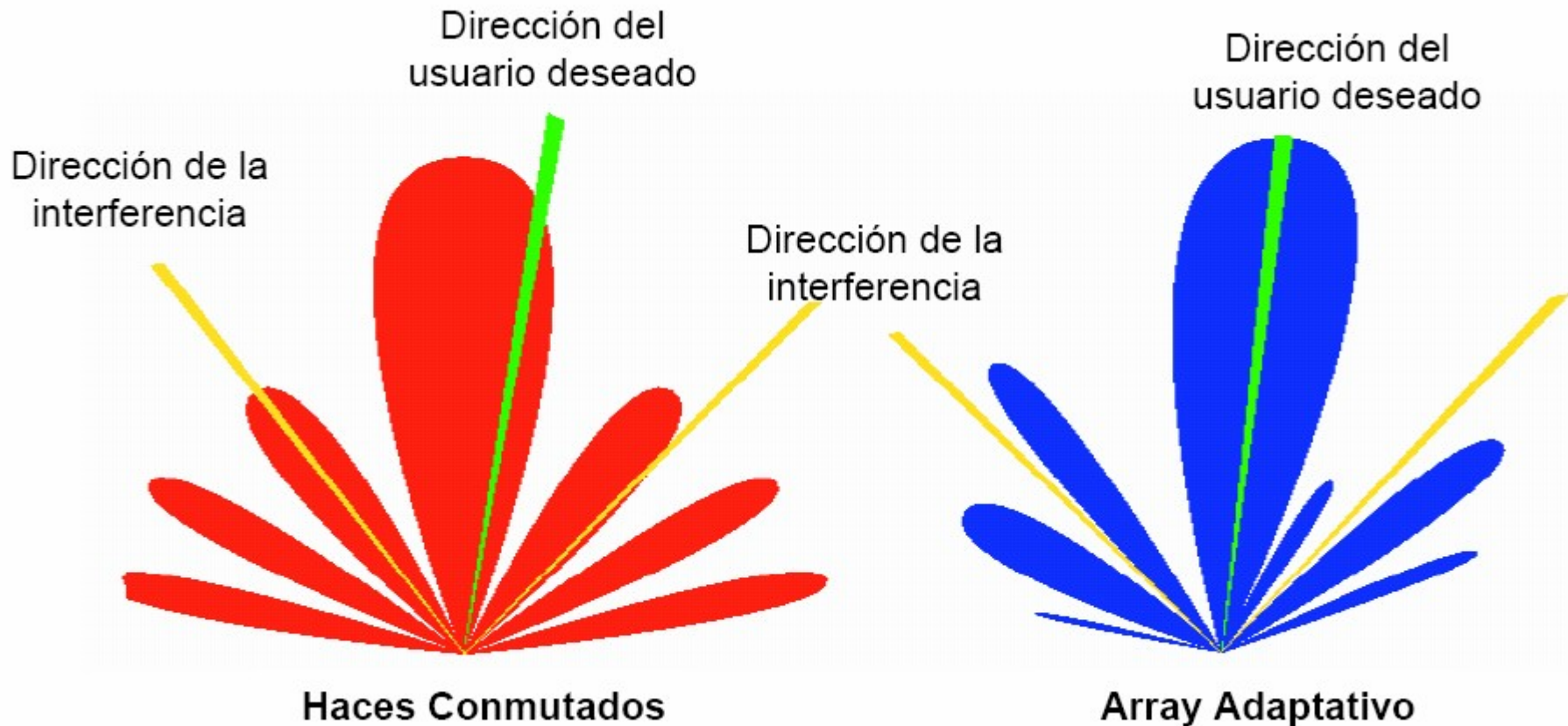
➤ Parte de la potencia que entra (**entrada** → 1) en el acoplador sale por una de las puertas (3), y el resto sale por la puerta (2), desfasada 90° .

➤ La señal de salida entre las puertas 2 y 3 tiene un desfase de 90° .

➤ En la puerta **aislada** (4), idealmente, no aparece potencia.

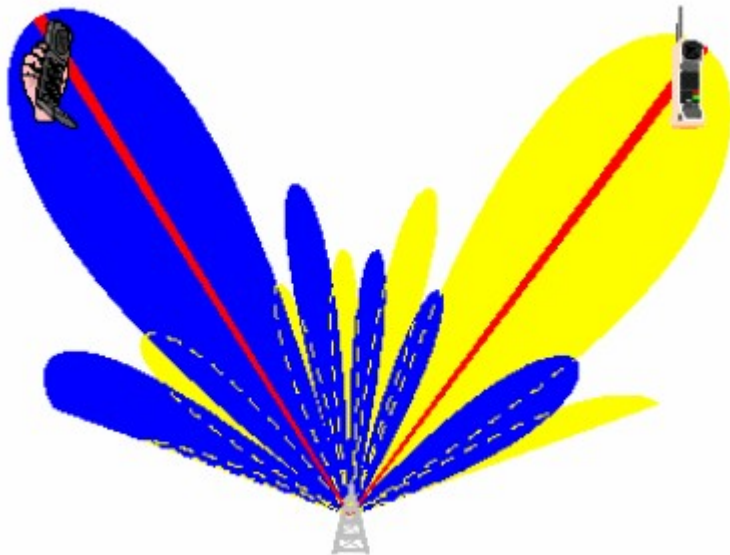
7.- Antenas adaptativas. *Concepto*

- Las antenas adaptativas son capaces de “adaptar” o configurar su diagrama de radiación en función de entorno radioeléctrico, favoreciendo la dirección de una señal deseada, frente a las direcciones de otras señales interferentes.
- Las mejoras de relación S/N con respecto a antenas de haces conmutados son notables.



7.- Antenas adaptativas. *Concepto*

- En sistemas de telefonía móvil, permiten además el apuntamiento simultáneo a varios usuarios. Para ello, se aprovechan las características de la señal modulada por código (CDMA), para establecer una referencia temporal con el usuario.
- Cada diagrama estará “adaptado” a un usuario, introduciendo nulos en el otro usuario que actuará como interferente.
- El límite en el número de diagramas simultáneos lo establece la capacidad del procesador digital encargado de implementar el algoritmo adaptativo adecuado.
- Se requiere un proceso de realimentación en el que se tienen en cuenta las señales recibidas en la definición de los pesos óptimos w_i



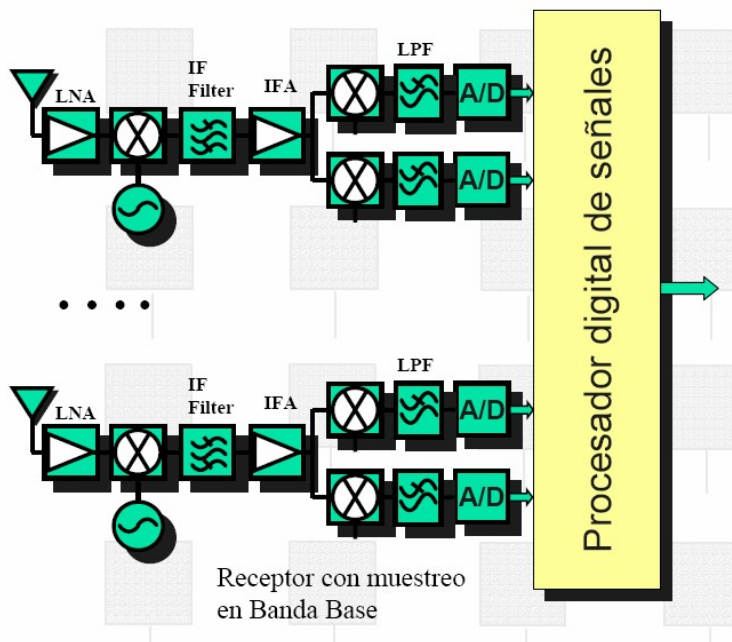
TIPOS DE ALGORITMO DE CONFORMACIÓN DE HAZ

- Referencia temporal
 - Conocemos una señal correlada con la deseada.
- Referencia espacial
 - Conocemos la dirección de llegada.
- Referencia ciega
 - Conocemos alguna propiedad de modulación o correlación de la señal.

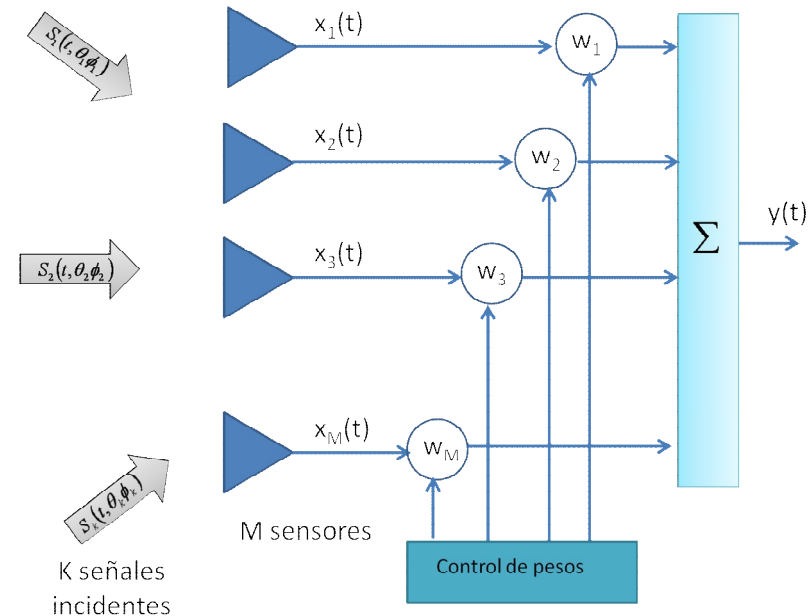
7.- Antenas adaptativas. *Concepto*

- Es necesario incluir un receptor completo en cada elemento de la agrupación del array.
- El muestreo puede realizarse en banda base (necesita un número mayor de componentes) o en FI (frecuencias típicas menores de 100 MHz).
- La obtención de las señales I/Q, son las entradas al procesador digital que serán utilizadas como entradas al algoritmo adaptativo

RECEPTOR PARA PROCESO DIGITAL



MODELO DE SEÑAL CON SENSORES IDEALES



7.- Antenas adaptativas. *Modelo de señal*



- A la salida de cada antena y su receptor (sensor ideal) se obtienen tras el conversor A/D muestras de la señal $x_i(t) \rightarrow x_i(n)$, con un periodo de muestreo T.
- El vector de datos total $x_i(n)$ “snapshot” para el sensor “i”, se expresa como:

$$x_i(n) = \sum_{j=1}^k s_j(n) \cdot a_{ij}(\theta_j, \phi_j) + N_i(n) \text{ , tal que, } \left\{ \begin{array}{l} a_{ij}(\theta_j, \phi_j) = e^{jk_o \vec{r}_i \hat{r}_j} \\ \hat{r}_j = (\text{sen } \theta_j \cdot \cos \phi_j \cdot \hat{x} + \text{sen } \theta_j \cdot \text{sen } \phi_j \cdot \hat{y} + \cos \theta_j \cdot \hat{z}) \\ \vec{r}_i = x_i \cdot \hat{x} + y_i \cdot \hat{y} + z_i \cdot \hat{z} \end{array} \right.$$

- Generalizando para todos los sensores

$$\begin{pmatrix} x_1(n) \\ x_2(n) \\ \vdots \\ x_M(n) \end{pmatrix} = \begin{bmatrix} a_{11} & a_{12} & \cdots & a_{1k} \\ a_{21} & a_{22} & \vdots & a_{2k} \\ \vdots & \vdots & \ddots & \vdots \\ a_{M1} & a_{M2} & \cdots & a_{Mk} \end{bmatrix} \begin{pmatrix} s_1(n) \\ s_2(n) \\ \vdots \\ s_k(n) \end{pmatrix} + \begin{pmatrix} N_1(n) \\ N_2(n) \\ \vdots \\ N_M(n) \end{pmatrix}$$

Vector de datos
Vector de enfoque
Señales banda base
Vector de ruido blanco

$\Leftrightarrow (x(n)) = [A] \cdot (s(n)) + (N(n))$

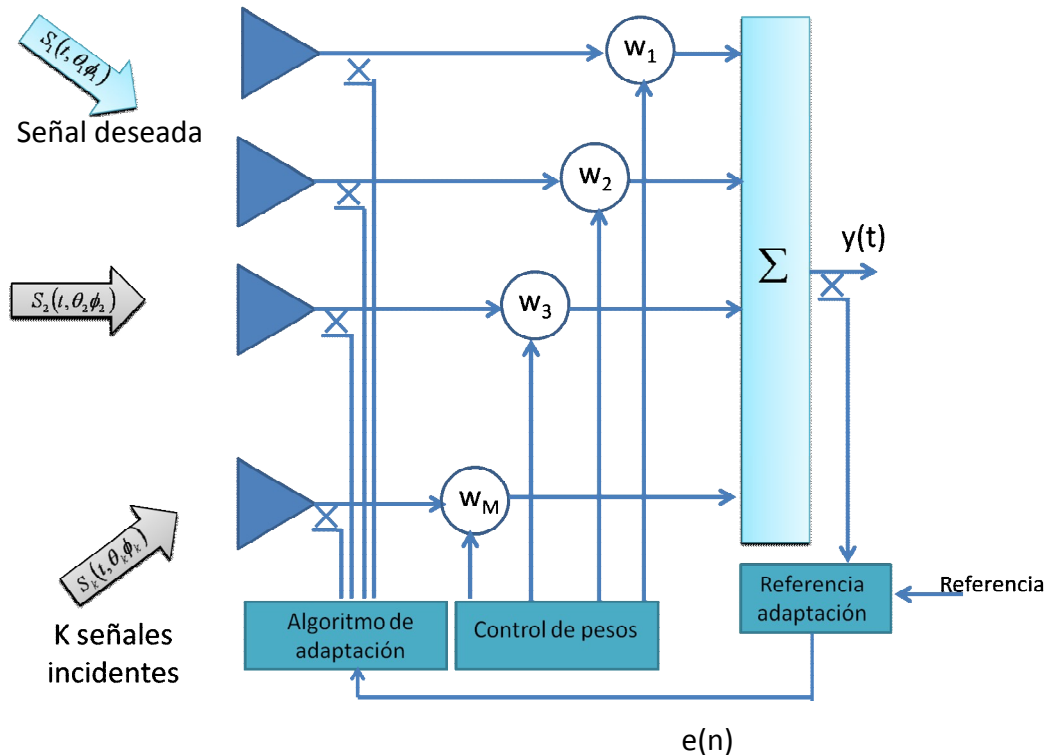
- Muestras de señal recibida total

$$y(n) = \sum_{i=1}^M w_i^* \cdot x_i(n)$$

Vector de pesos a modificar para adaptar el diagrama

7.- Antenas adaptativas. Conformación de haz con referencia temporal

- Se conoce una señal $d(n)$ correlada con la deseada e incorrelada con las interferencias.
- Se compara la señal conocida con la recibida y se determina el error cuadrático medio.



- Señal de error

$$e(n) = d(n) - y(n) = d(n) - (w^H) \cdot (x(n))$$

- Error cuadrático medio

$$J((w)) = |e(n)|^2 = |(d(n)) - (w^H) \cdot (x(n))|^2$$



$$J((w)) = \sigma_d^2 + (w^H) [R_{xx}] (w) - (w^H) \cdot (p) - (p^H) \cdot (w)$$

donde,

$$[R_{xx}] = (x(n)) \cdot (x^H(n)) = \text{Matriz de correlación}$$

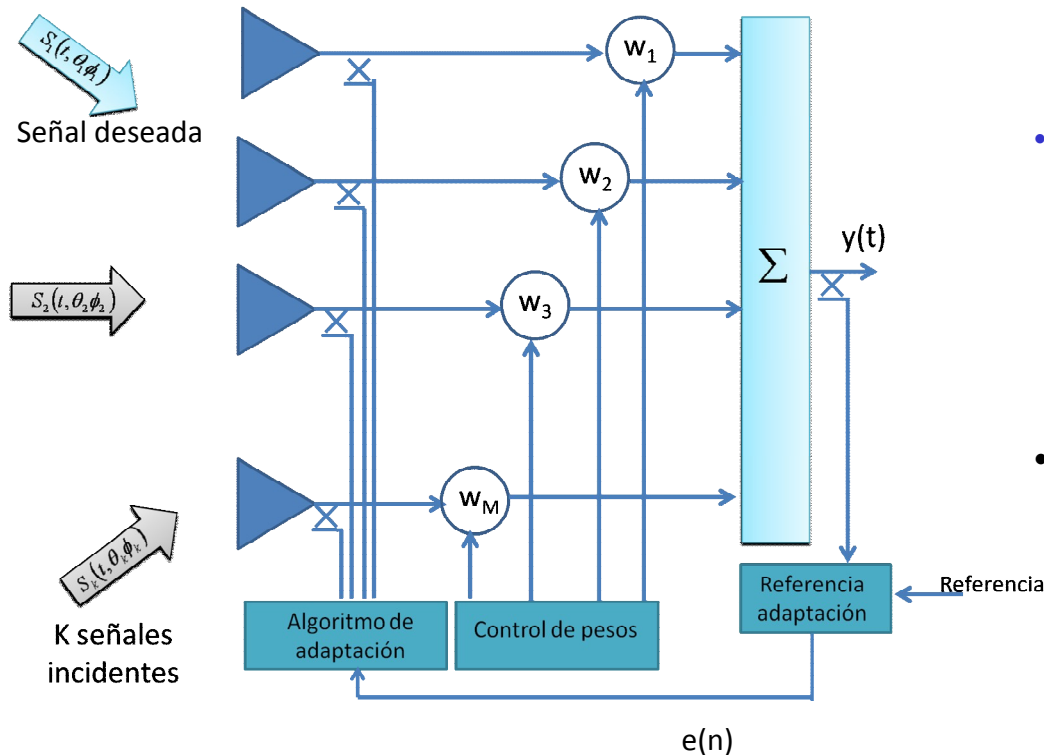
$$(p) = (x(n)) \cdot d^H(n) = \text{Vector de correlación entre señales de sensores y referencia}$$

$$\sigma_d^2 = d(n) \cdot d^H(n) = \text{Potencia señal deseada}$$

¡ Objetivo: Minimizar $J((w))$!

7.- Antenas adaptativas. Conformación de haz con referencia temporal

- Minimizando el error cuadrático medio, se obtienen los pesos óptimos que consiguen apuntar el diagrama de radiación hacia la señal deseada, y que sitúan un nulo de radiación a cada señal interferente.



- Derivando $J(w)$ con respecto al vector de pesos (w)

$$\nabla J(w) = [R_{xx}](w) - (p)$$

- Igualando a cero se despeja el vector de pesos óptimo

$$(w_{opt}) = [R_{xx}]^{-1} \cdot (p)$$

Óptimo de Wiener

- La matriz de correlación R_{xx} tiene información de la correlación de la señal deseada con las interferentes, así como, de la correlación de la señal deseada con el ruido, ya que,

$$[R_{xx}] = (x(n)) \cdot (x^H(n)) \quad \gamma \quad (x(n)) = [A] \cdot (s(n)) + (N(n))$$

7.- Antenas adaptativas. Algoritmo LMS



- La inversión de matrices puede ser computacionalmente muy costosa, por lo que, se aplican algoritmos, como el de máxima pendiente para la obtención del vector óptimo de pesos.
- Es un proceso iterativo

$$w(n+1) = w(n) + \mu(-\nabla J(n)) = w(n) + \mu((p) - [R_{xx}](w(n)))$$

, donde μ es el paso de adaptación. Indica la velocidad con la que se quiere alcanzar el mínimo de error. Una velocidad excesiva puede llevar a que siempre se pase por alto la solución óptima, y una velocidad muy lenta, a que tardemos demasiado en encontrarla

- Aproximación por valor instantáneo.

$$p(n) \cong x(n) \cdot d^*(n) \qquad R_{xx}(n) \cong x(n) \cdot x^H(n)$$

- Por lo que los pesos se actualizan según la expresión.

$$w(n+1) = w(n) + \mu \cdot ((x(n)) \cdot d^*(n) - (x(n)) \cdot (x^H(n)) \cdot w(n))$$

, como el error a la salida del array es $e(n) = d(n) - y(n) = d(n) - (w^H) \cdot (x(n))$

$$w(n+1) = w(n) + \mu \cdot ((x(n)) \cdot e^*(n))$$

7.- Antenas adaptativas. *Conformación de haz con referencia temporal*

Señal en $\theta_1=60^\circ$, $\sigma_1=10$

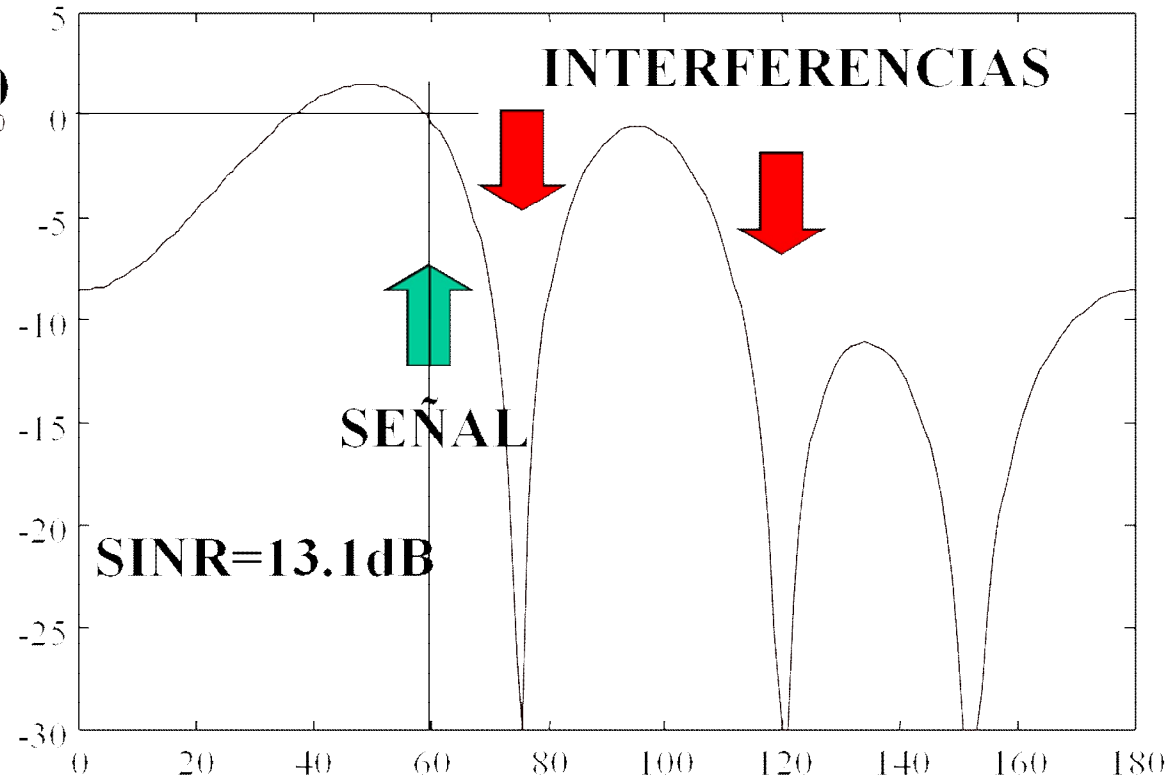
Interferencias en

$\theta_2=75^\circ$, $\sigma_2=100$

$\theta_3=120^\circ$, $\sigma_3=100$

Ruido $\sigma_n=1$

Referencia $\sigma_d=1$
 $\mu=0.1$



7.- Antenas adaptativas. Conformación de haz con referencia espacial



- La dirección de llegada es conocida a través del vector (a_d).
- Se minimiza la potencia de salida $y(n)$, con restricción de ganancia normalizada 1 en la dirección de apuntamiento

$$y(n) = (w^H) \cdot (x(n)) \quad \longrightarrow \quad |y(n)|^2 \Big|_{\min} = (w^H) \cdot [R_{xx}] \cdot (w) \Big|_{\min}$$

- Ganancia unidad en dirección de llegada $(w^H) \cdot (a_d) = 1$

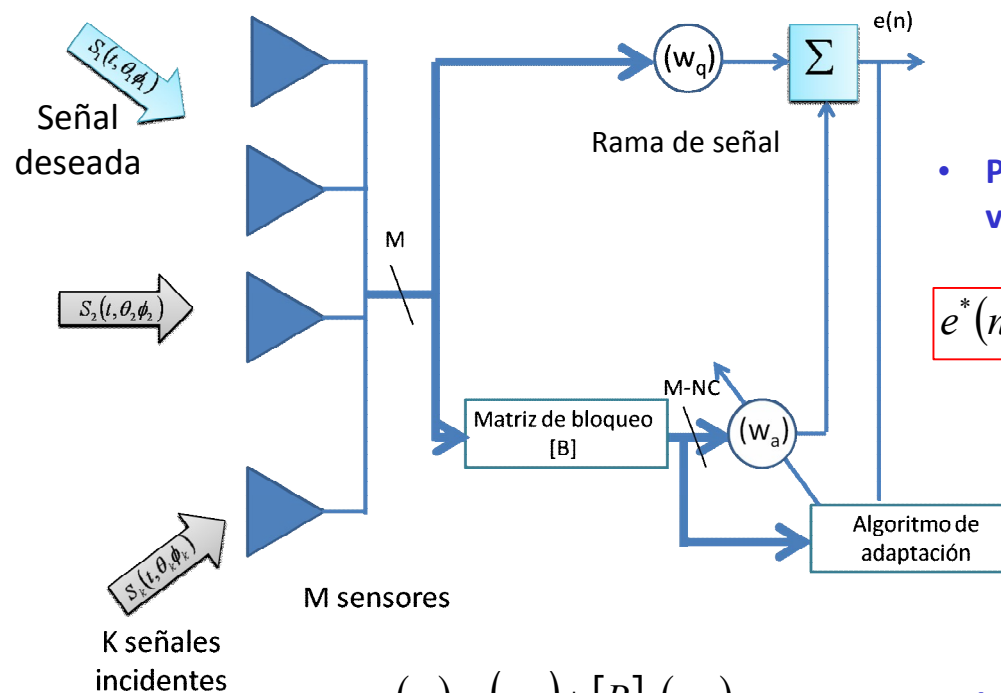
- La solución se consigue aplicando multiplicadores de Lagranje, y el vector de pesos óptimo que minimiza la señal favoreciendo la dirección de llegada (a_d) es:

$$(w_{opt}) = \frac{[R_{xx}]^{-1} \cdot (a_d)}{(a_d^H) \cdot [R_{xx}]^{-1} \cdot (a_d)}$$

- Se aplica a antenas en las que existe una antena principal orientada a una dirección fija conocida, junto con otra antena auxiliar que realiza la conformación cancelando las interferencias que entran en direcciones distintas de la conocida
- Es sensible a los errores de apuntamiento \rightarrow Cancelación de la señal deseada

7.- Antenas adaptativas. *Cancelador de lóbulos generalizado (GSLC)*

- Algoritmo de referencia espacial, ya que, se conoce la dirección de llegada de la señal deseada. Divide el array en dos ramas: rama de señal con unos pesos fijos (w_q) que impone la forma del diagrama según la dirección de llegada conocida, y rama adaptativa con pesos variables (w_a) que minimiza la potencia de error de salida a través de un algoritmo de mínima varianza.
- La rama inferior supone el complemento ortogonal de la señal deseada, por lo que, la matriz de bloqueo [B], impide el paso de la señal deseada por la misma.



- **Potencia de error de salida a minimizar, variando w_a**

$$e^*(n) = (x^H(n)) \cdot (w) = (x^H(n)) \cdot ((w_q) + [B] \cdot (w_a))$$

- **Para minimizar $e(n)$ se puede aplicar el algoritmo LMS a los pesos w_a**

$$(w) = (w_q) + [B] \cdot (w_a)$$

- **Dimensión $w_q = Q$**
- **Dimensión $w_a = M-Q$**